

NOCIONES
DE
EDIFICACIÓN

APLICADA

Á LA CONSTRUCCIÓN DE TABLERES

Y

ESTABLECIMIENTOS FABRILES

POR

Don Rafael de la Revilla y Cifre

TENIENTE CORONEL DE ARTILLERIA

ATLAS

SEGOVIA

EST. TIP. DE FÉLIX RUEDA

Hijo de Segundo Rueda

JUAN BRAVO, 20

1908

3489(bis)

Tit. nº 33876

1913 IE

Sig.: 1913 IE

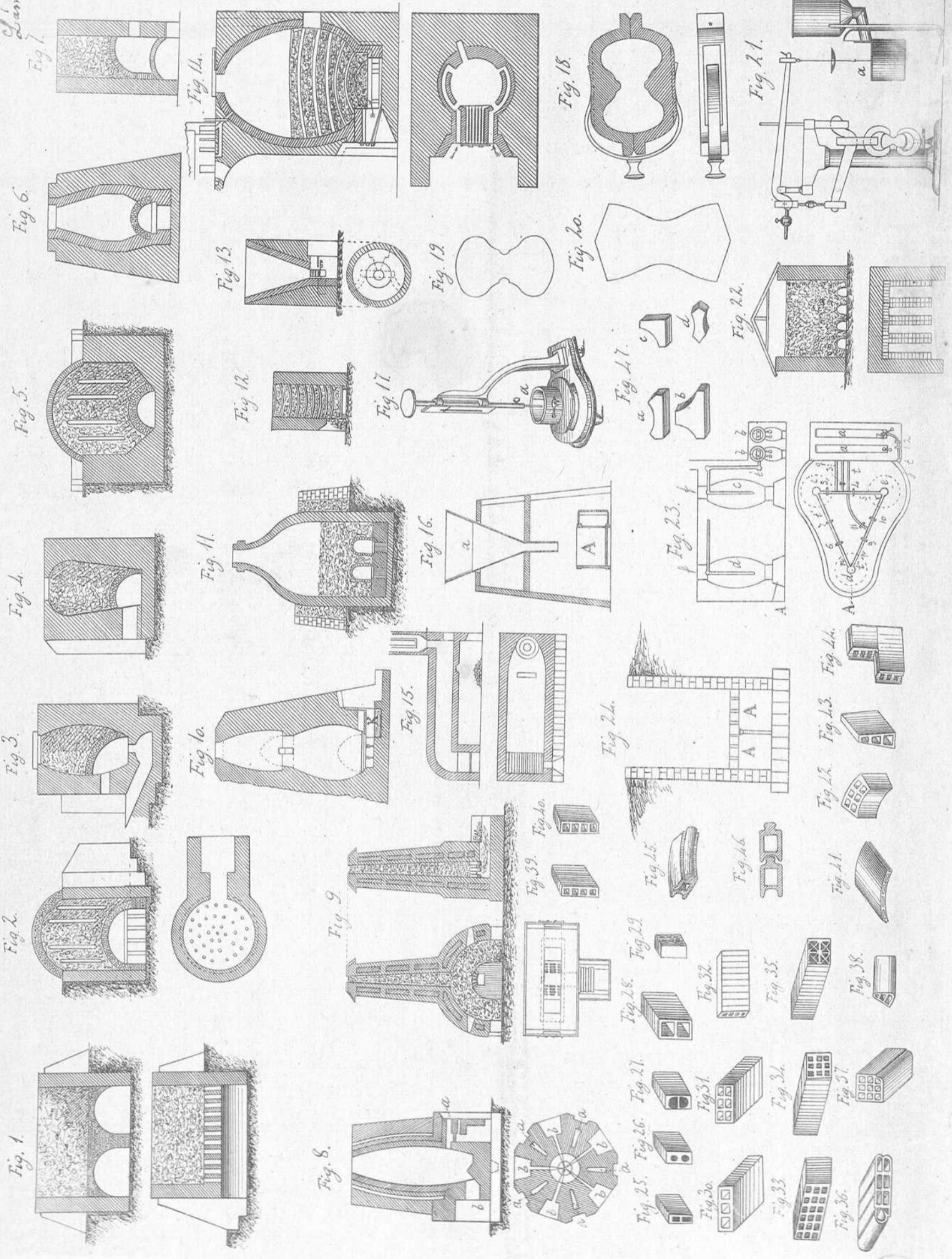
Tit.: Nociones de edificación : apl

Aut.: Revilla y Cifre, Rafael de la

Cód.: 51042871



Plan 1



Lam 2

Fig. 48.

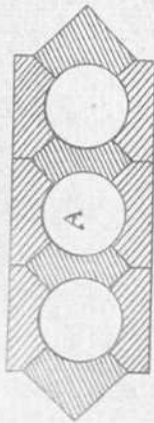


Fig. 49.

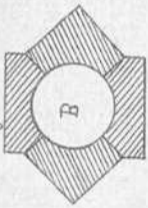


Fig. 50.



Fig. 51.

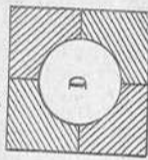


Fig. 52.



Fig. 53.

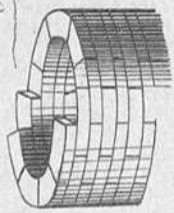


Fig. 54.

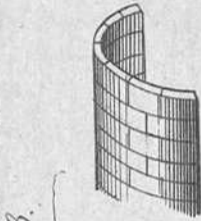


Fig. 56.



Fig. 57.



Fig. 54.

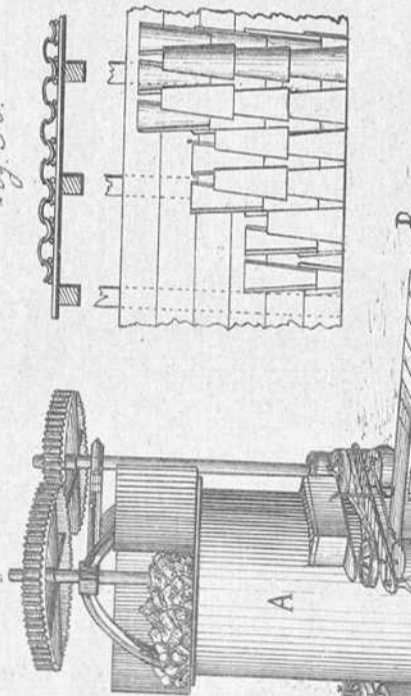


Fig. 58.

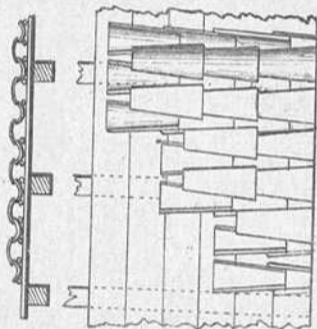


Fig. 59.

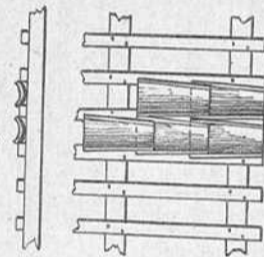


Fig. 60.

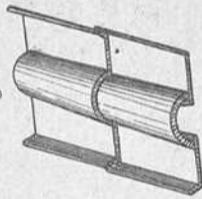


Fig. 62.

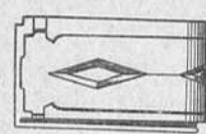


Fig. 63.

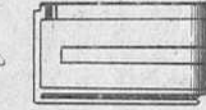


Fig. 64.

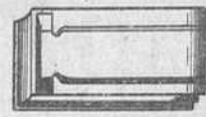


Fig. 61.

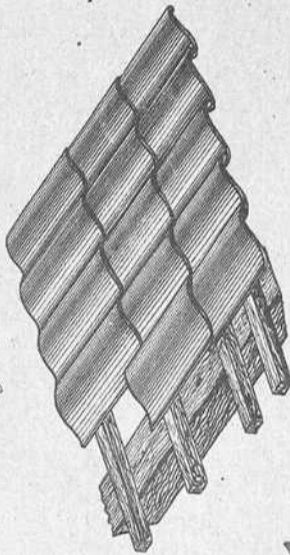


Fig. 65.

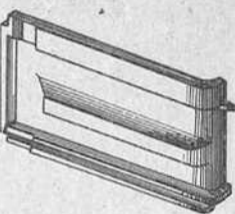


Fig. 66.

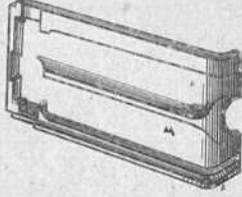


Fig. 55.

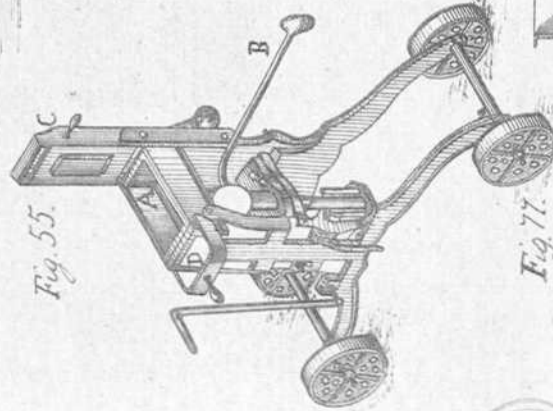


Fig. 75.

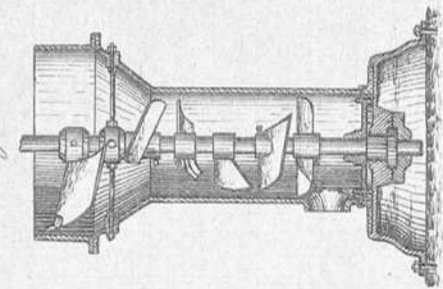


Fig. 74.

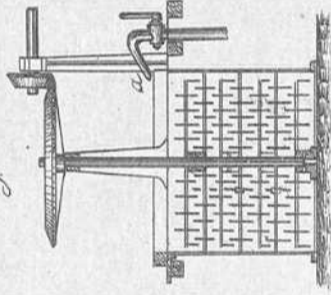


Fig. 76.

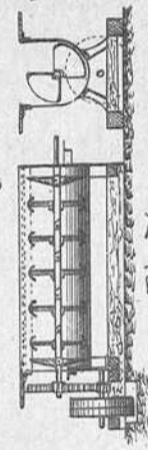


Fig. 69.

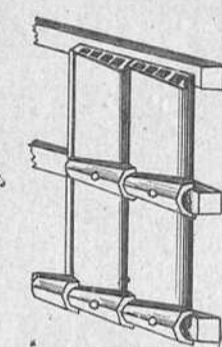


Fig. 68.

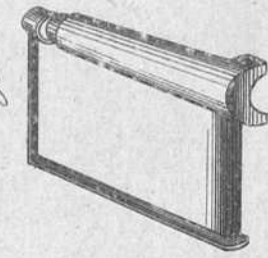


Fig. 77.

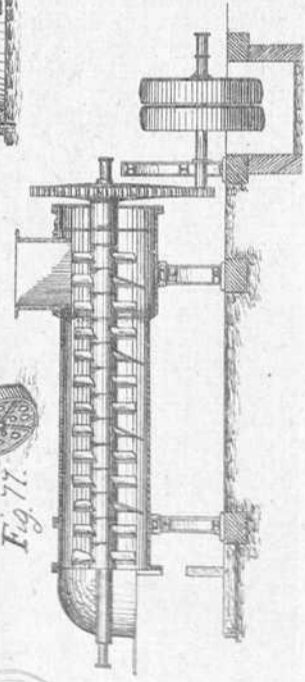


Fig. 78.

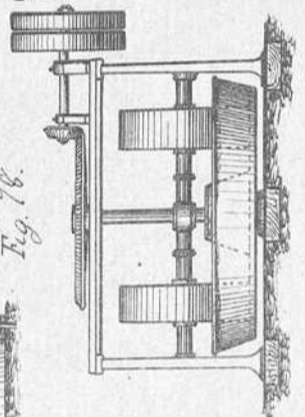


Fig. 71.

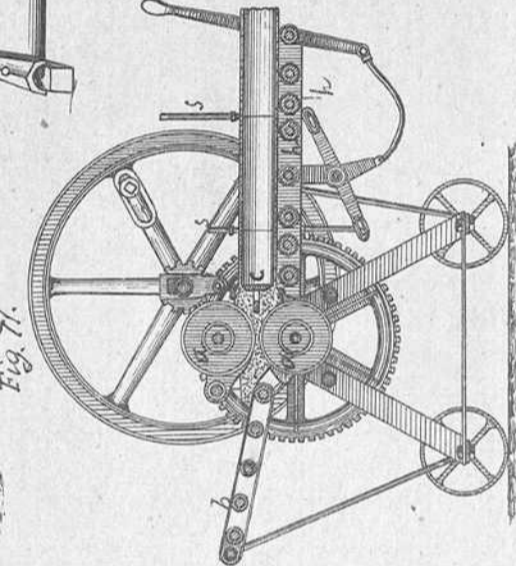


Fig. 72.



Fig. 73.

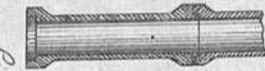


Fig. 70.

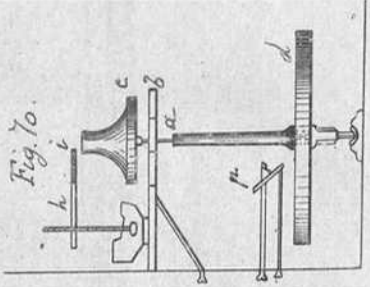


Fig. 79.

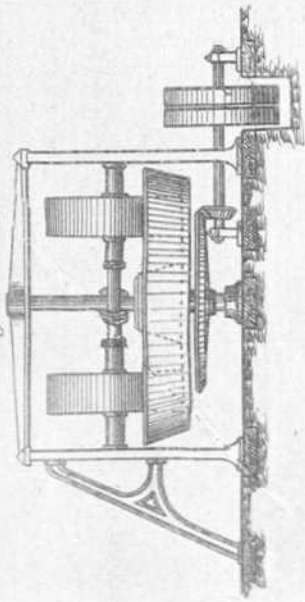


Fig. 80.

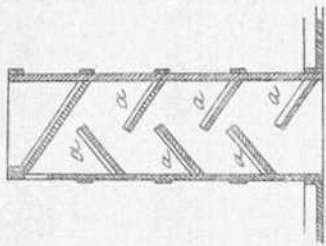


Fig. 81.

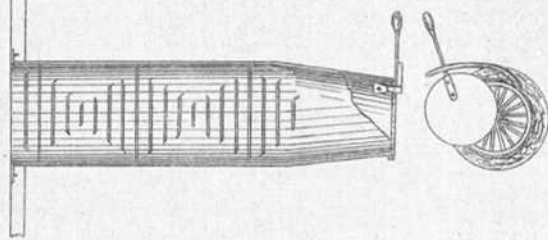
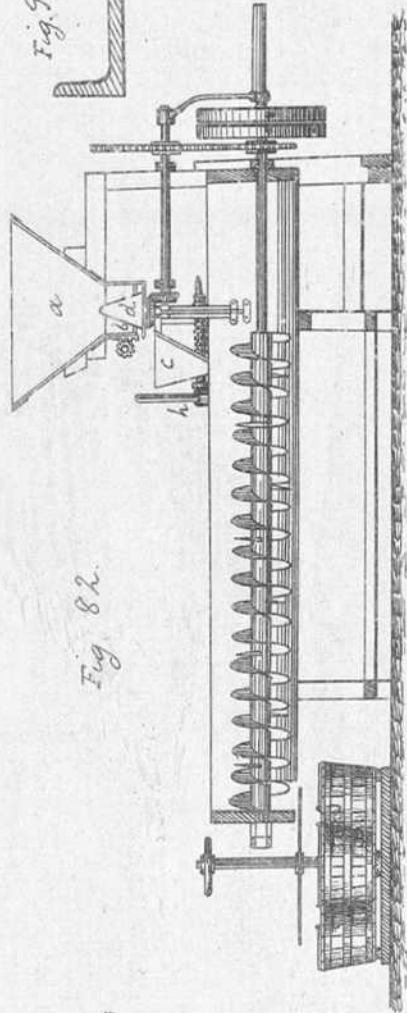


Fig. 82.



Lam 3

Fig. 84.

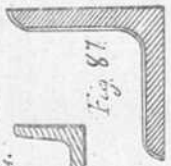


Fig. 87.



Fig. 83.

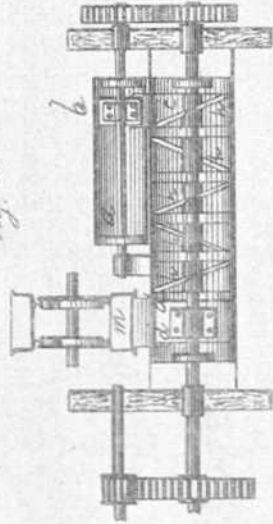


Fig. 88.

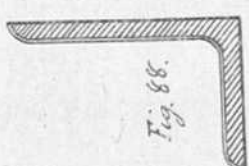


Fig. 84.

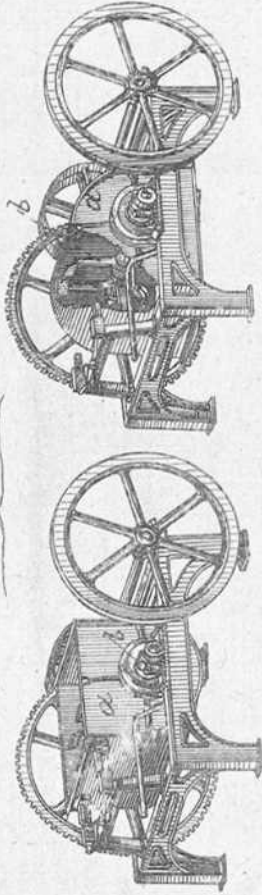


Fig. 89.

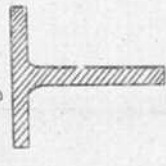


Fig. 85.

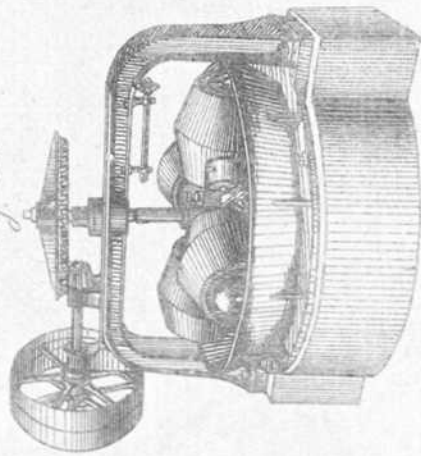


Fig. 90.

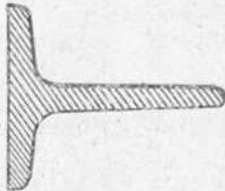


Fig. 101.

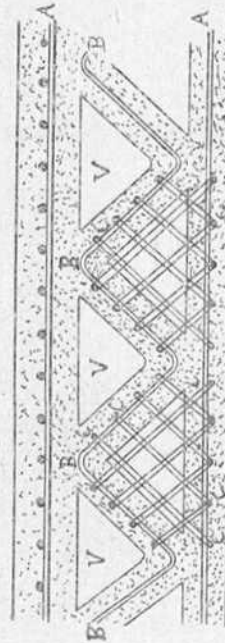


Fig. 102.



Fig. 103.



Fig. 86.

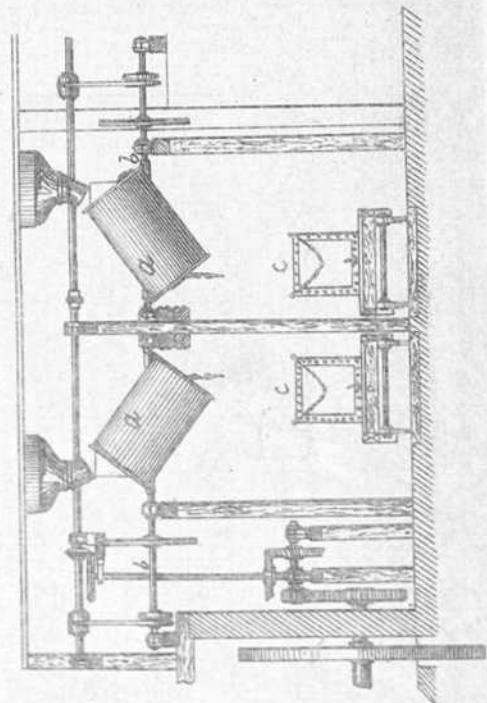


Fig. 91.



Fig. 100.

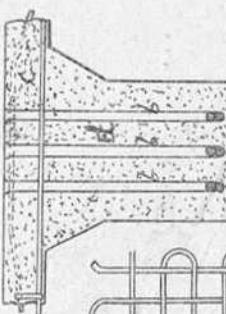


Fig. 99.

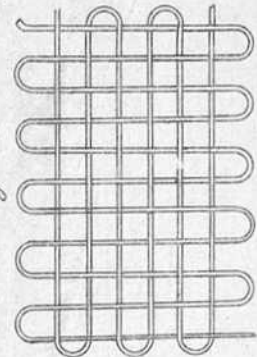


Fig. 92.

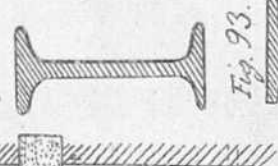


Fig. 93.

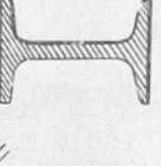


Fig. 102.



Fig. 98.

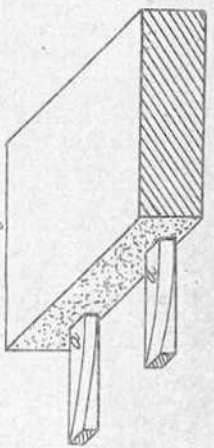


Fig. 97.

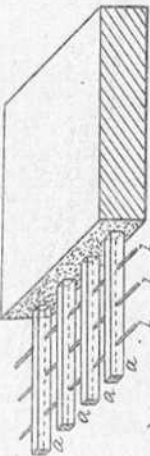


Fig. 96.

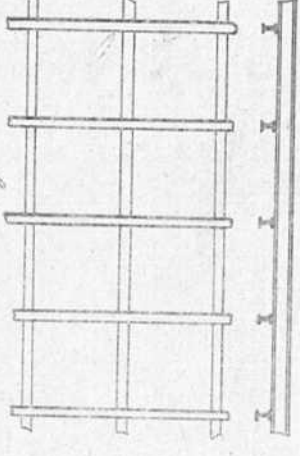


Fig. 95.



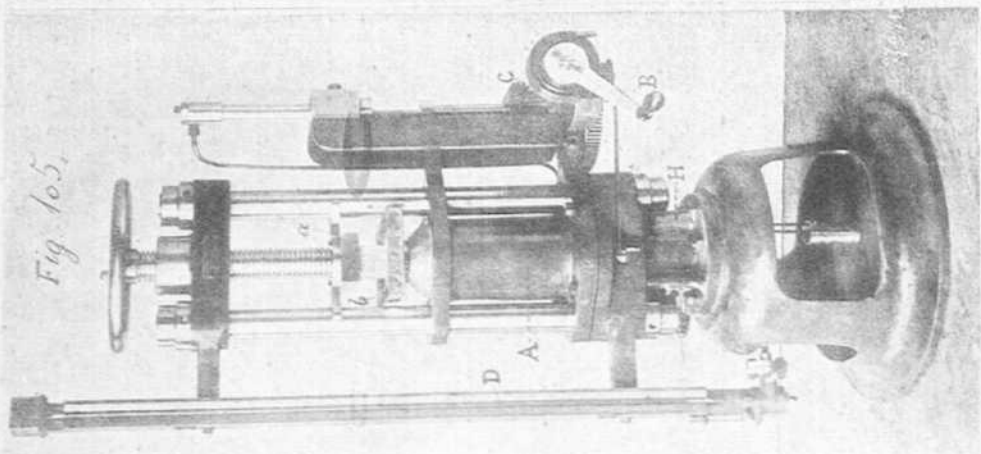


Fig. 105.

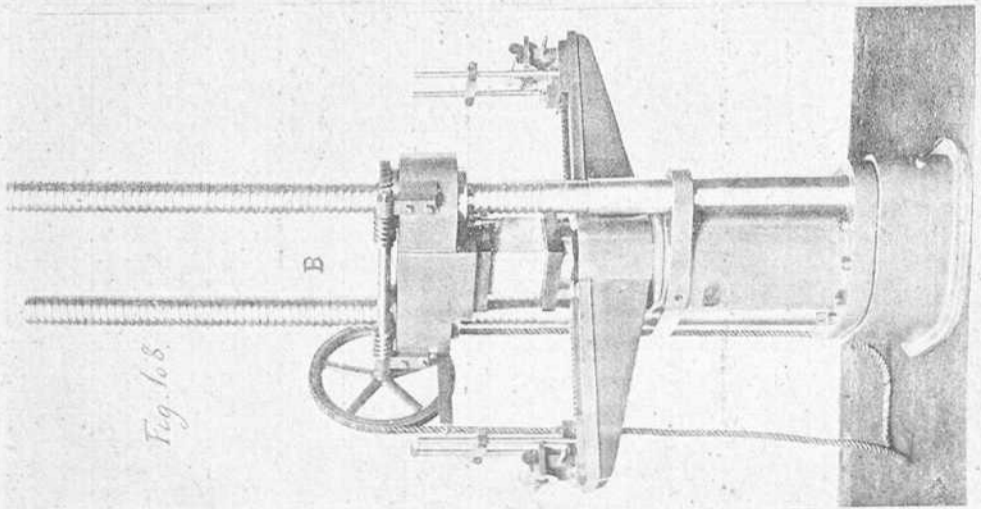


Fig. 108.

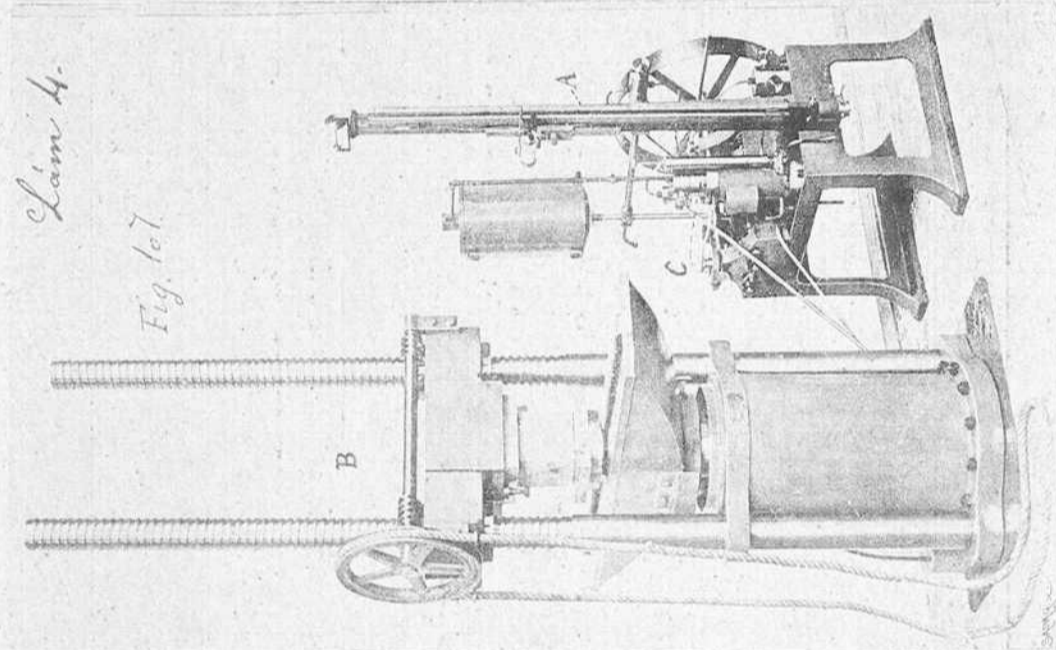


Fig. 107.

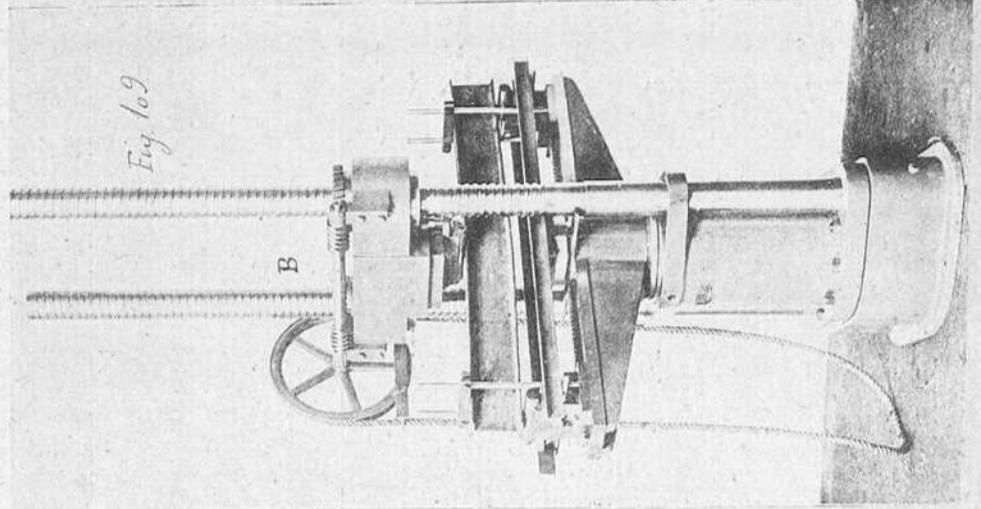


Fig. 109.

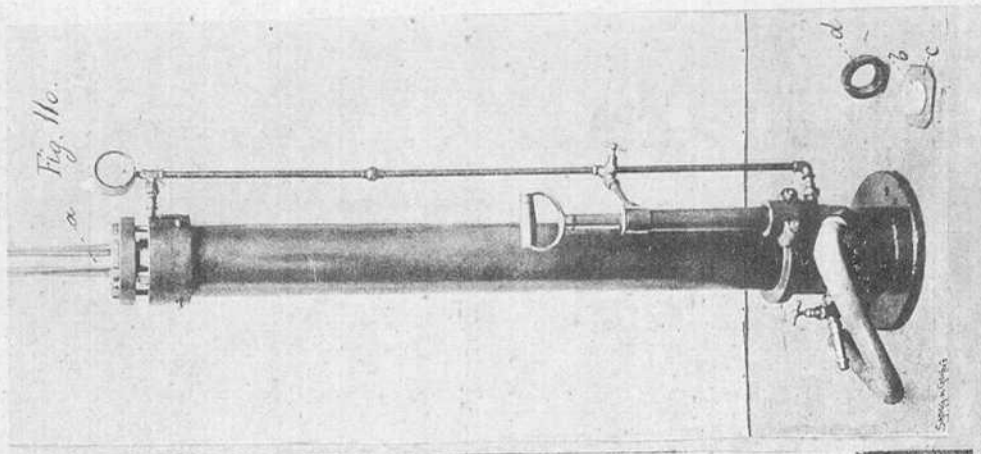


Fig. 110.

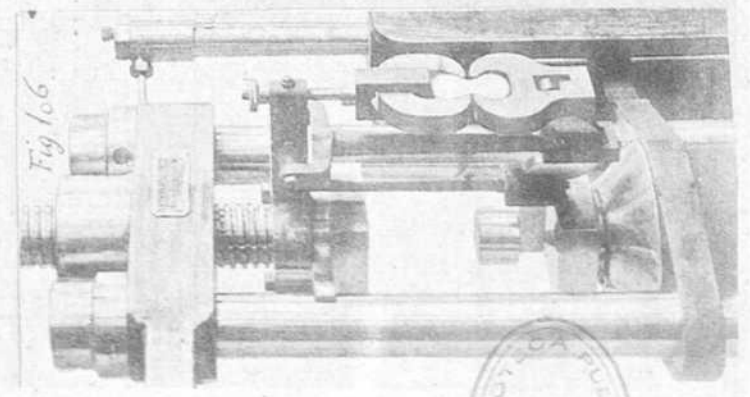


Fig. 106.



Fig. 112.



Fig. 127.

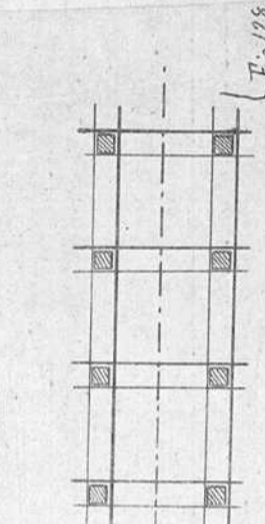


Fig. 128.

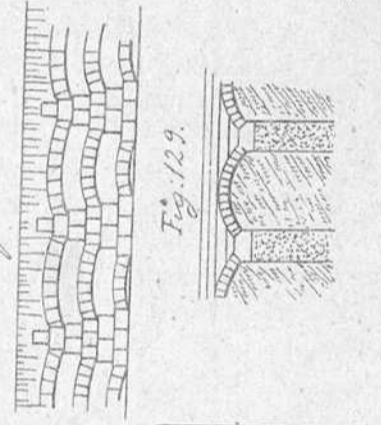


Fig. 126.

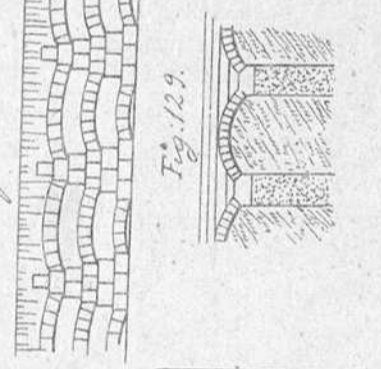


Fig. 129.

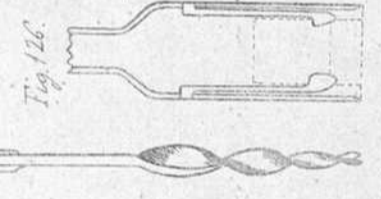


Fig. 121.

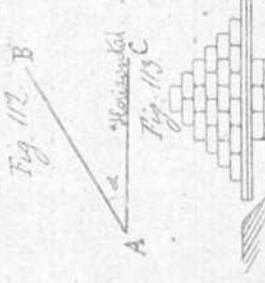


Fig. 113.

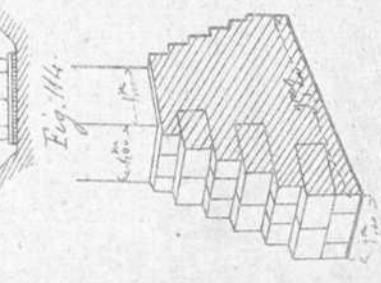


Fig. 114.

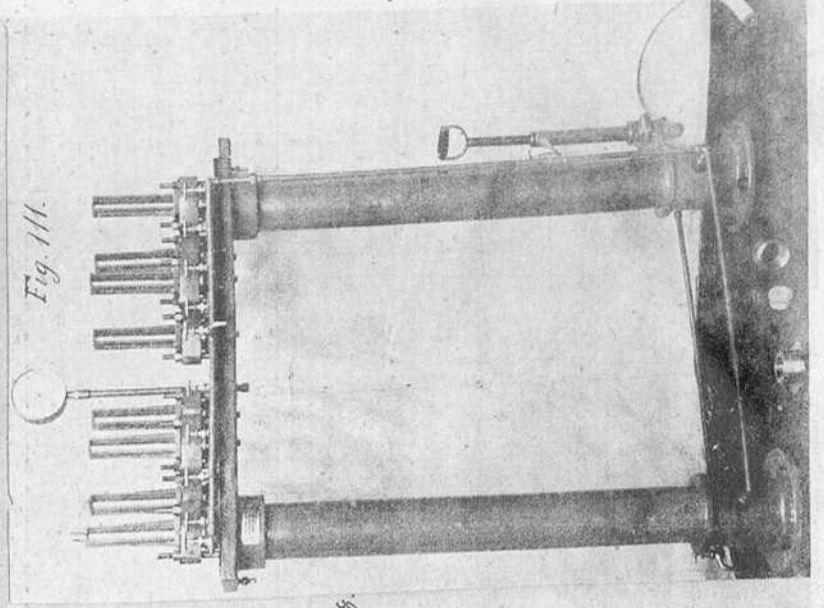


Fig. 111.



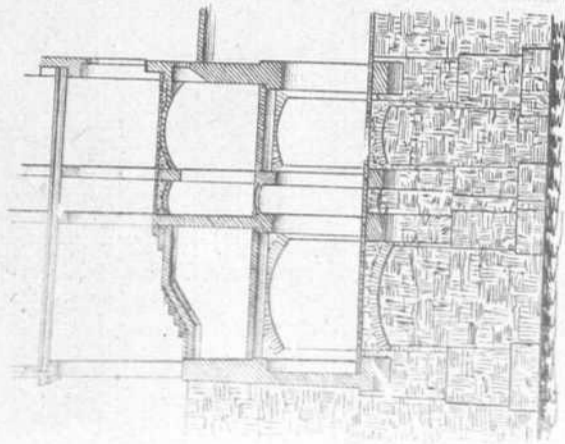


Fig. 130.

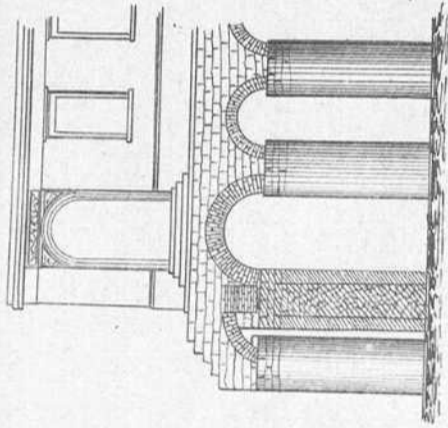


Fig. 131.

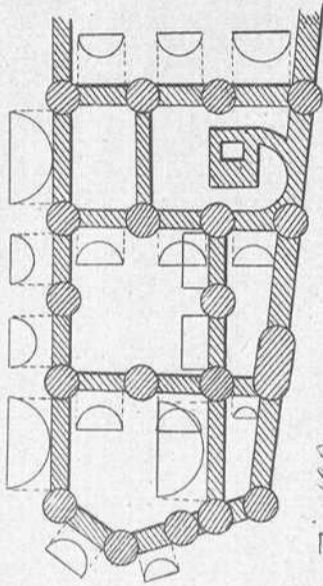


Fig. 132.

Fig. 133.

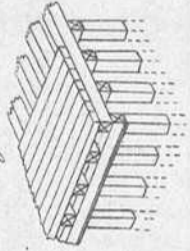


Fig. 134.

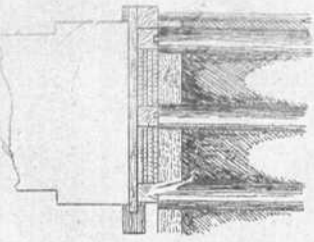


Fig. 135.

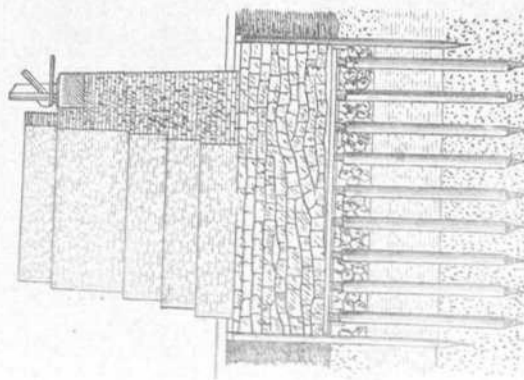


Fig. 136.

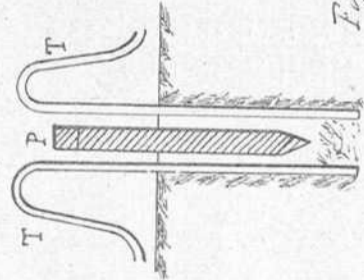


Fig. 137.

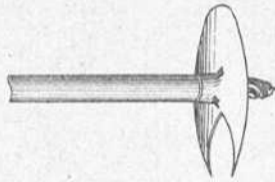


Fig. 143.

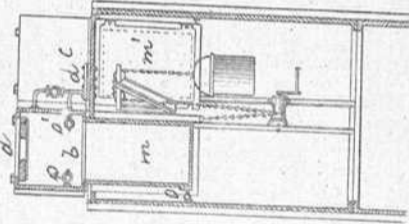


Fig. 144.



Fig. 147.

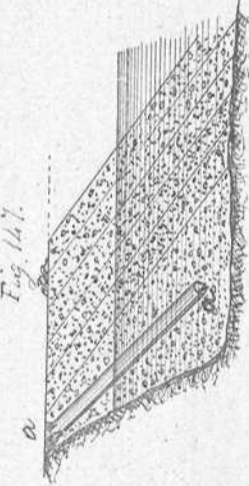


Fig. 146.



Fig. 139.

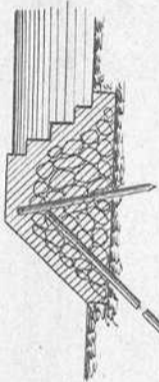


Fig. 140.

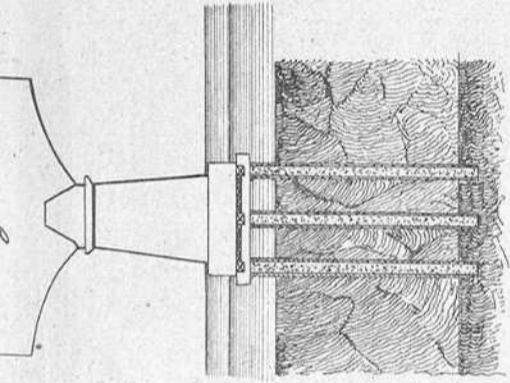


Fig. 141.

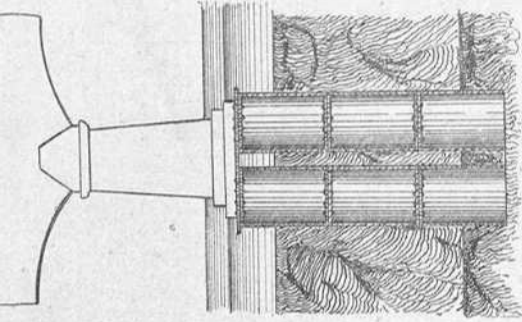


Fig. 145.

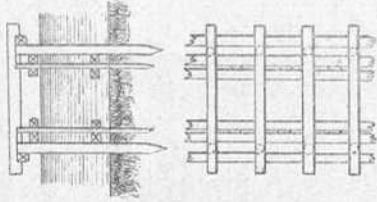


Fig. 150.

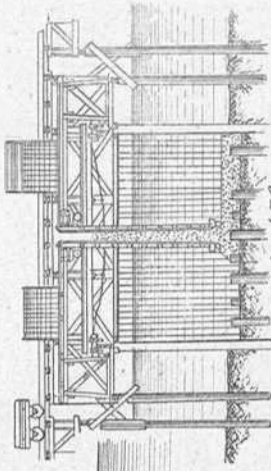


Fig. 152.

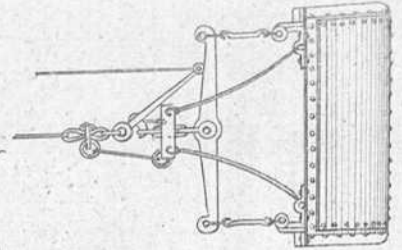


Fig. 151.

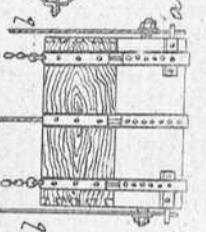
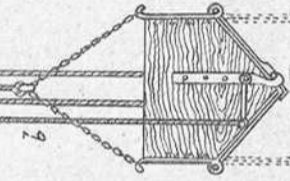


Fig. 148.



Fig. 149.

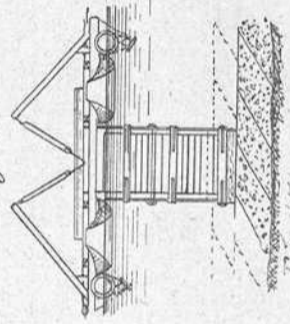


Fig. 153.

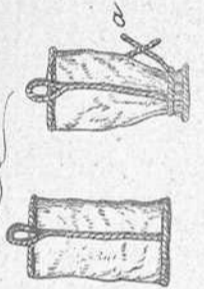


Fig. 153.

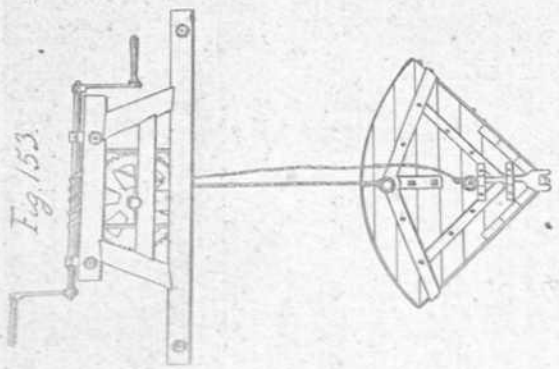


Fig. 155.

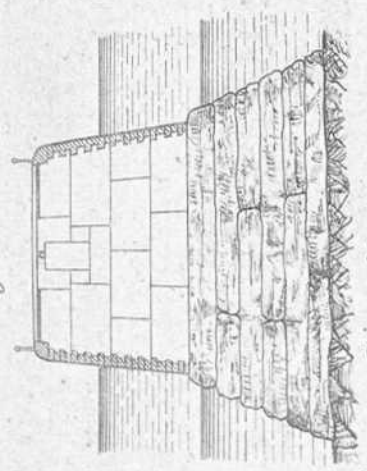


Fig. 156.



Fig. 157.

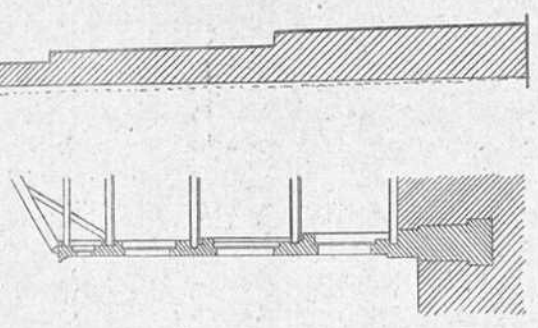


Fig. 158. Fig. 159. Fig. 160. Fig. 161.

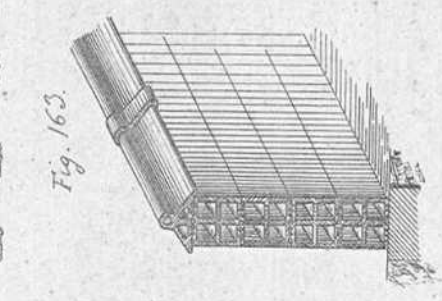
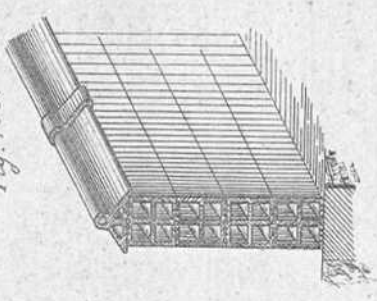


Fig. 163.



Lam. 6. Fig. 165.

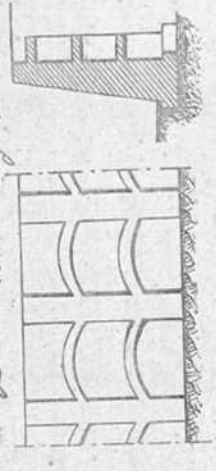


Fig. 164.

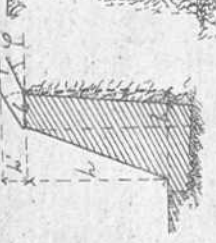


Fig. 167.

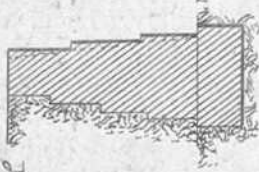


Fig. 166.

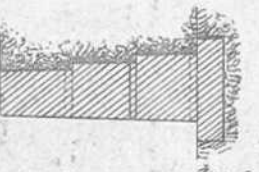


Fig. 170.

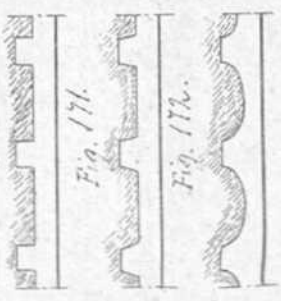


Fig. 171.



Fig. 172.



Fig. 173.

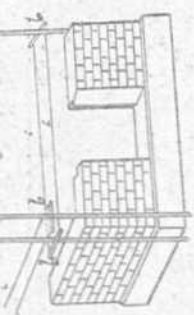


Fig. 176.

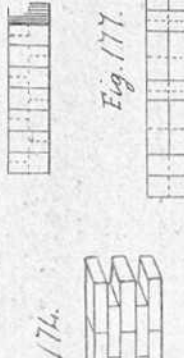


Fig. 177.



Fig. 178.

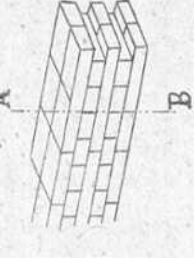


Fig. 174.



Fig. 175.

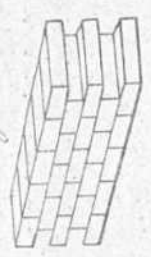


Fig. 179.

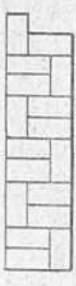


Fig. 180.



Fig. 181.



Fig. 182.



Fig. 187.



Fig. 188.

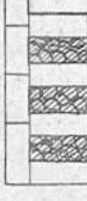


Fig. 189.



Fig. 183.



Fig. 184.



Fig. 185.



Fig. 186.

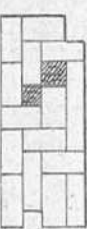


Fig. 202.



Fig. 201.

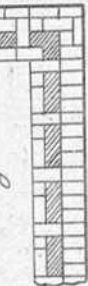


Fig. 200.



Fig. 199.

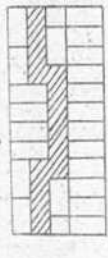


Fig. 198.

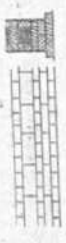


Fig. 197.

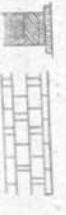


Fig. 190.



Fig. 191.

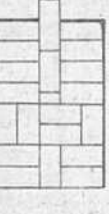


Fig. 192.

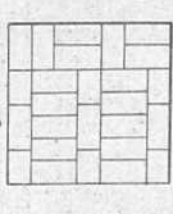


Fig. 193.

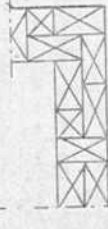
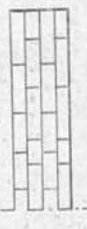


Fig. 194.

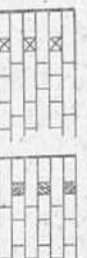


Fig. 195.

Fig. 196.



Fig. 211.

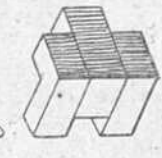


Fig. 210.

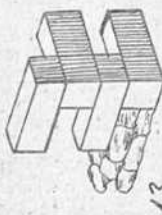


Fig. 209.

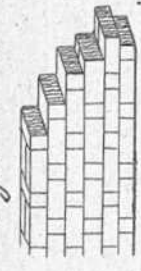


Fig. 215.



Fig. 216.



Fig. 213.



Fig. 218.



Fig. 217.

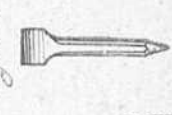


Fig. 220.



Fig. 221.



Fig. 222.



Lam. 7.

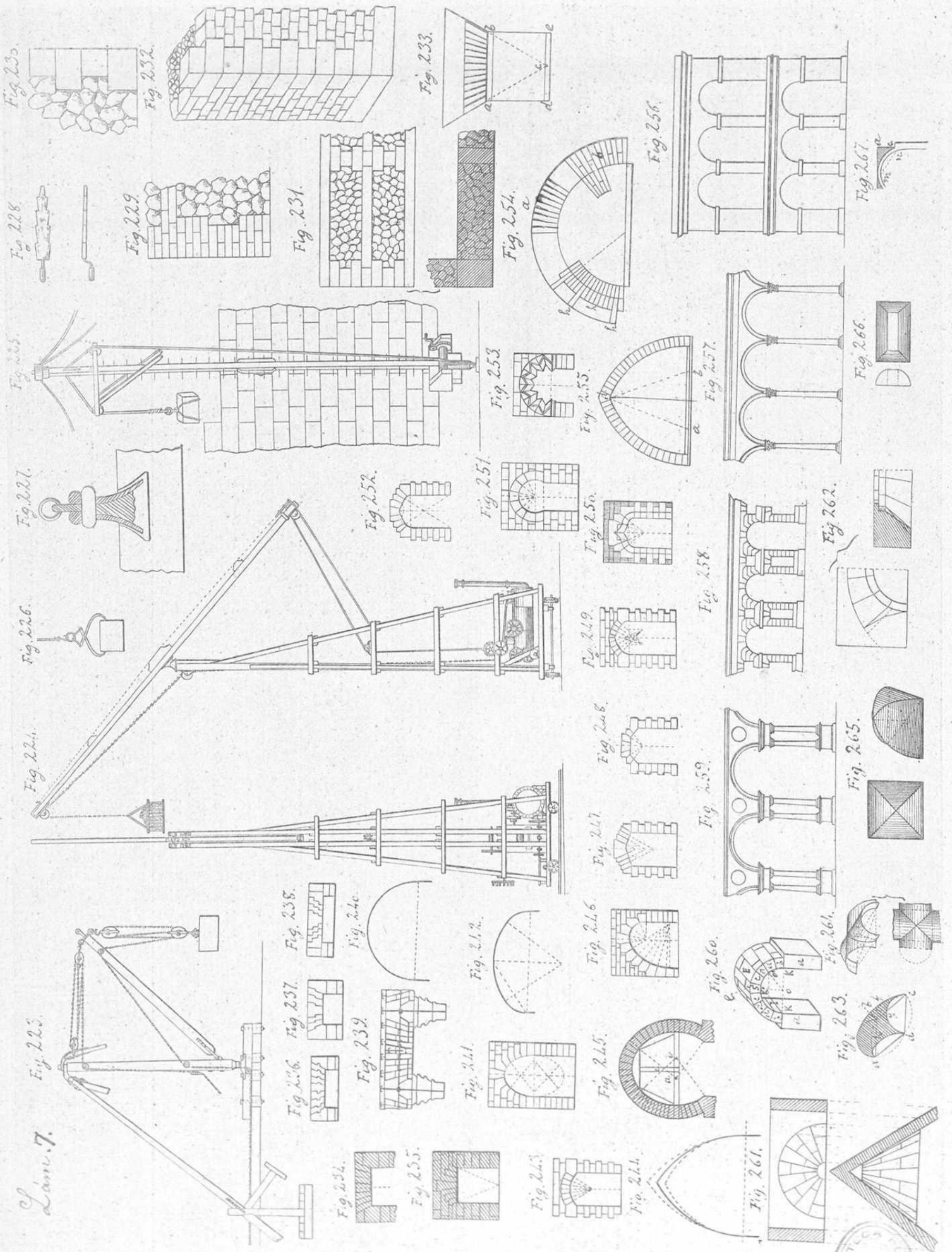




Fig. 268.

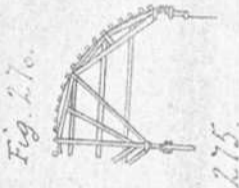


Fig. 269.

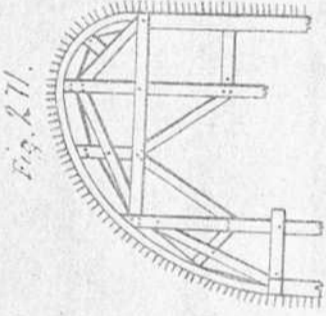


Fig. 270.

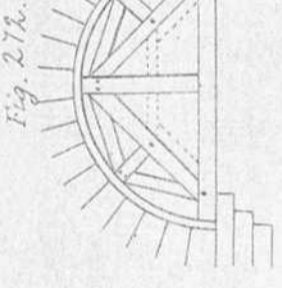
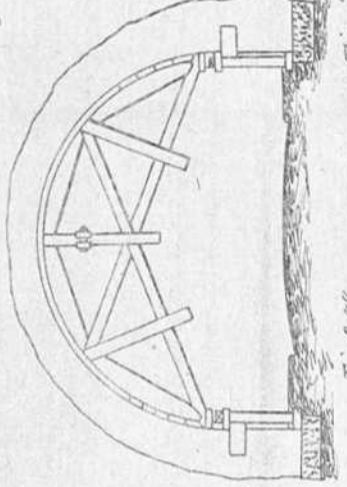


Fig. 271.

Fig. 273.



Lammig.



Fig. 280.

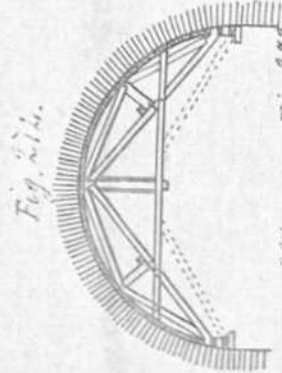


Fig. 274.

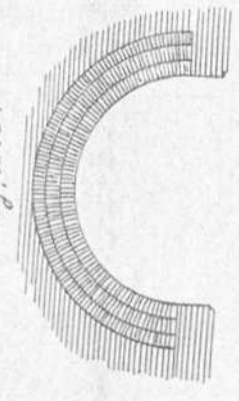


Fig. 275.



Fig. 276.

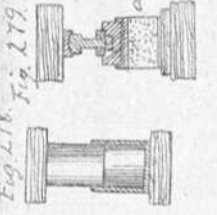


Fig. 277.

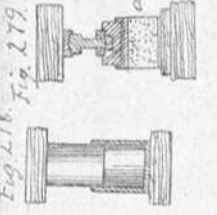


Fig. 278.

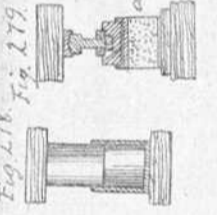


Fig. 279.

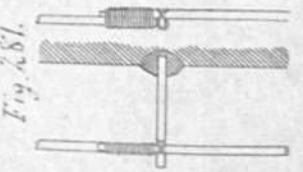


Fig. 281.

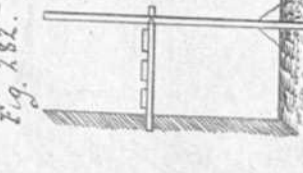


Fig. 282.

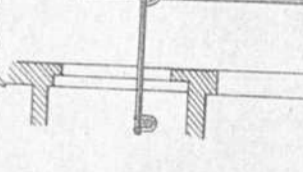


Fig. 283.

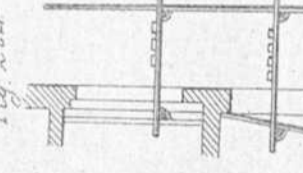


Fig. 284.

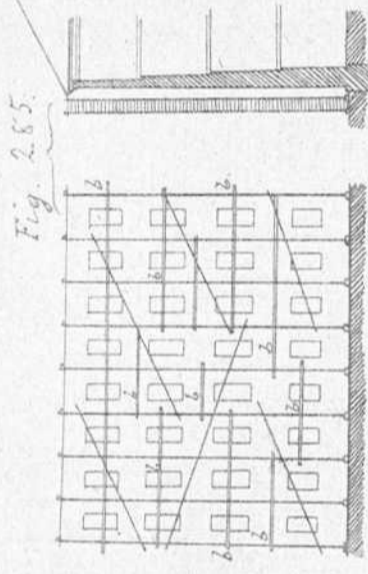


Fig. 285.

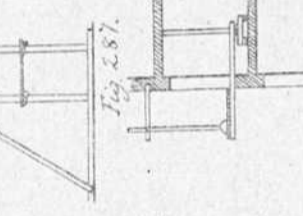


Fig. 286.

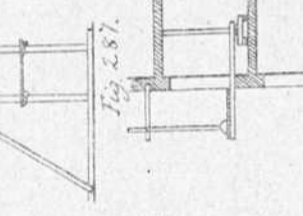


Fig. 287.

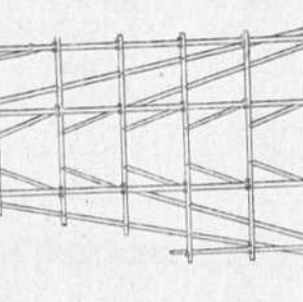


Fig. 288.

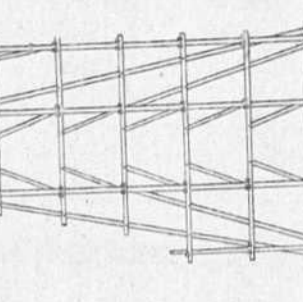


Fig. 289.

Fig. 290.

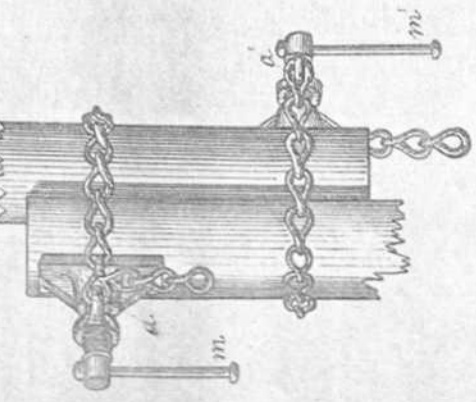


Fig. 291.

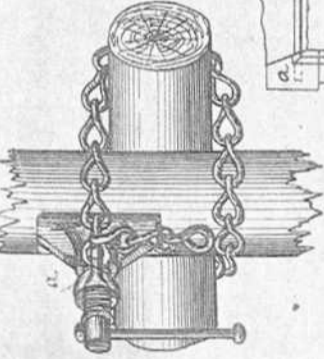


Fig. 292.

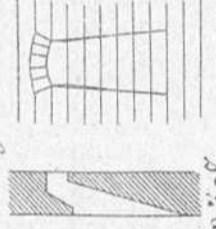


Fig. 293.

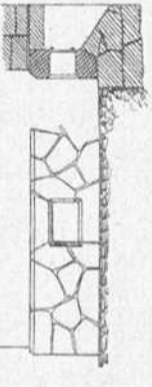


Fig. 294.

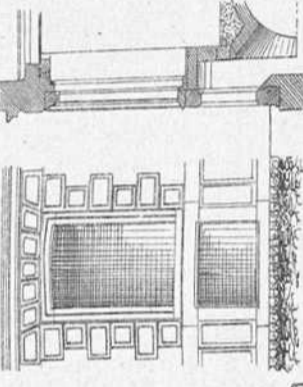


Fig. 295.

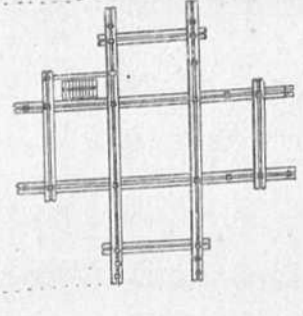


Fig. 295.

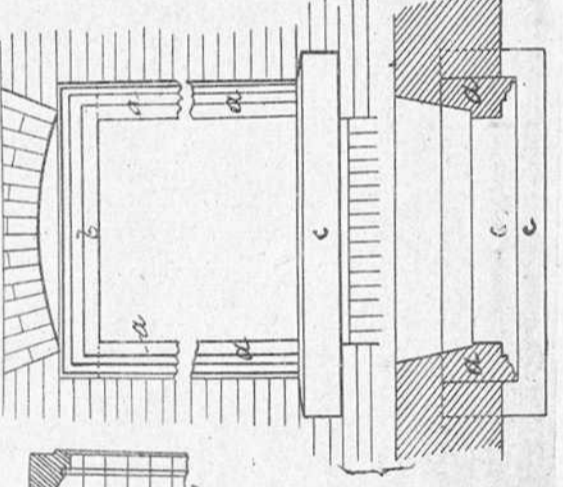


Fig. 308.

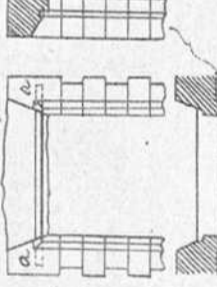


Fig. 307.

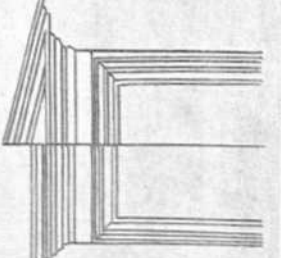


Fig. 306.

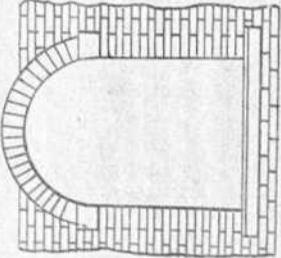


Fig. 309.

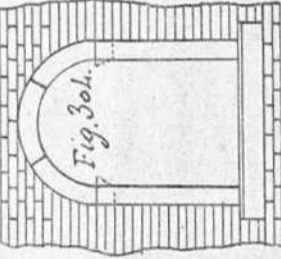


Fig. 310.

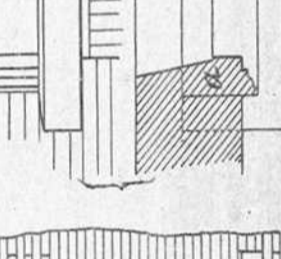


Fig. 311.

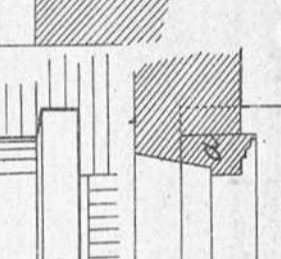


Fig. 312.

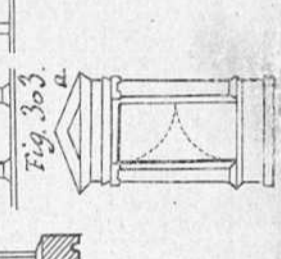


Fig. 313.

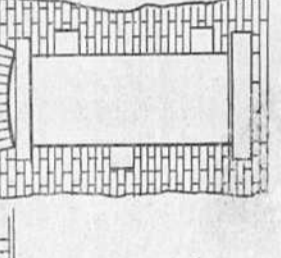


Fig. 314.

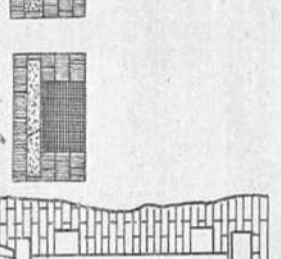


Fig. 315.

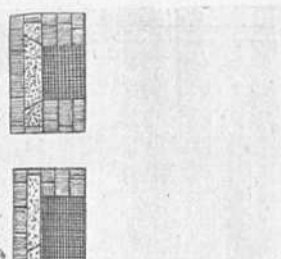


Fig. 307.

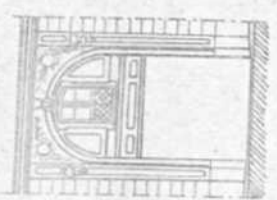


Fig. 310.

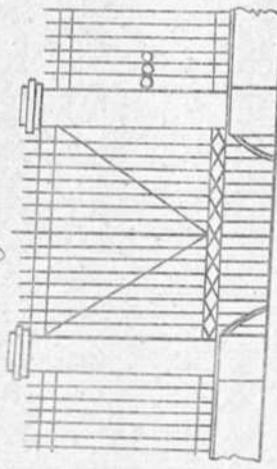


Fig. 311.

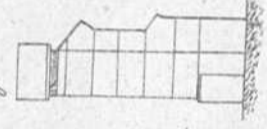


Fig. 317.

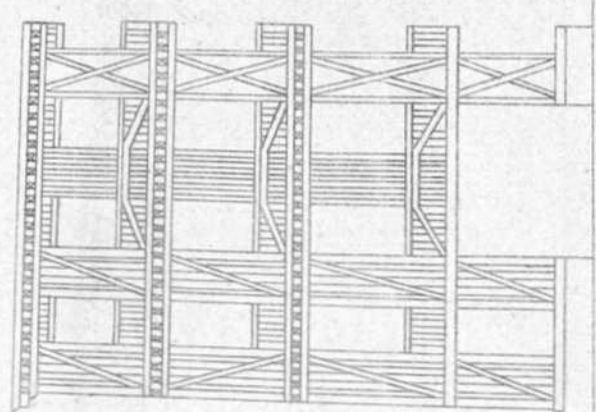


Fig. 318.

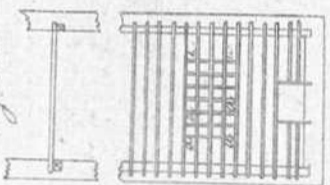


Fig. 319.

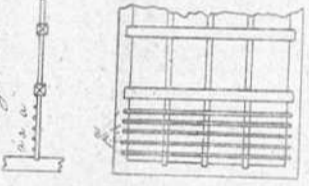


Fig. 328.

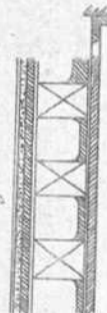


Fig. 332.

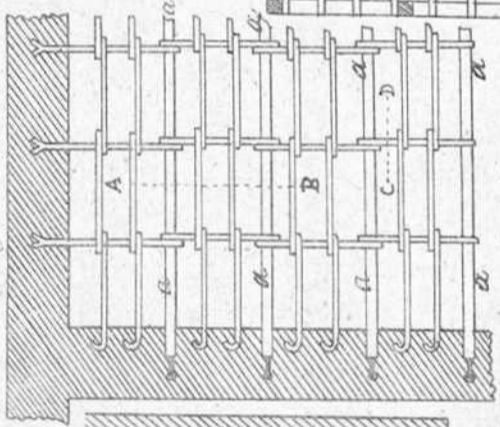


Fig. 320.

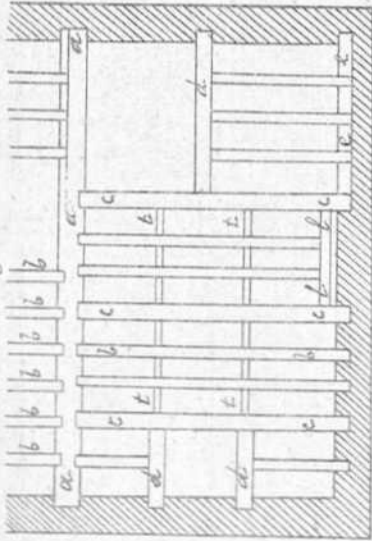


Fig. 331.

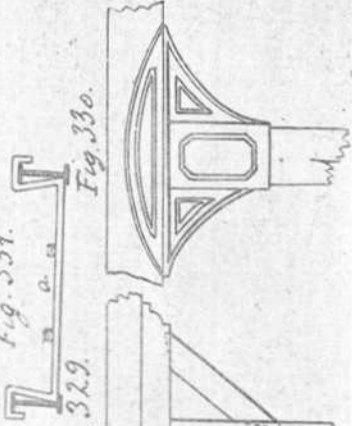


Fig. 329.

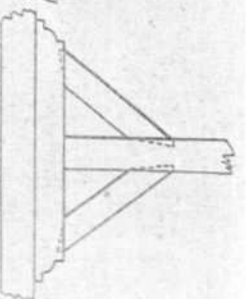


Fig. 330.



Fig. 312.

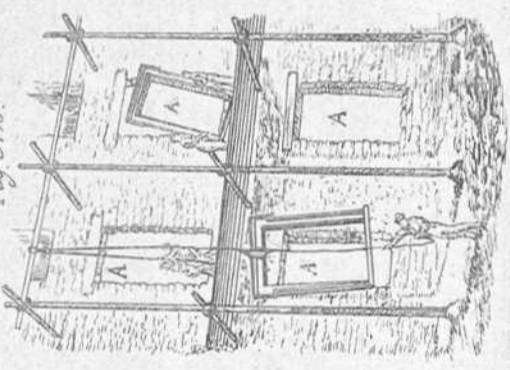


Fig. 313.

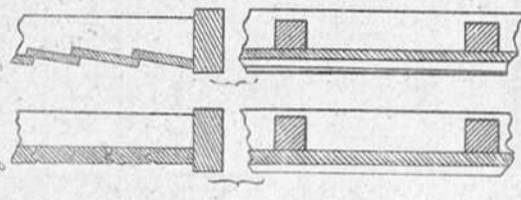


Fig. 314.

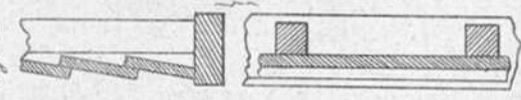
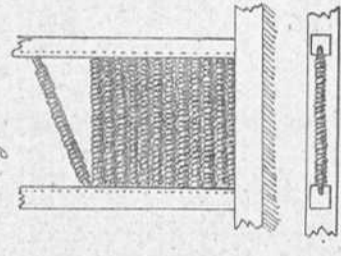


Fig. 315.



Fig. 316.



Lam. 9. Fig. 325.



Fig. 326.

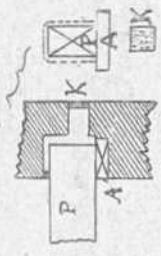


Fig. 327.

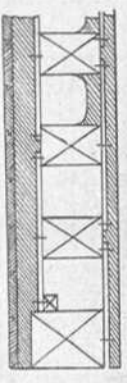


Fig. 324.



Fig. 321.

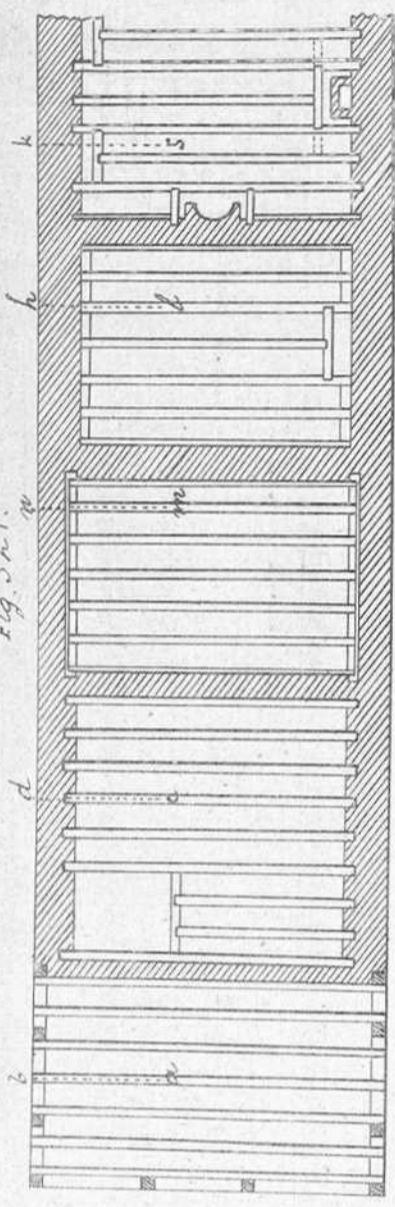


Fig. 322.

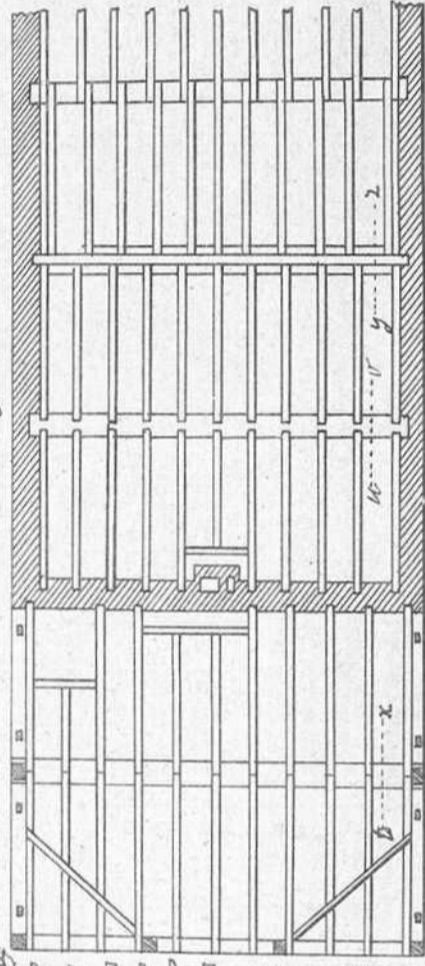
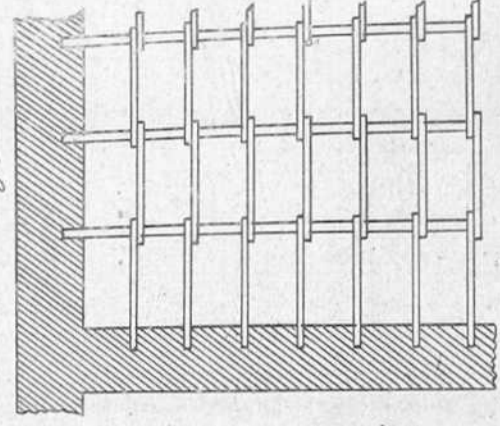
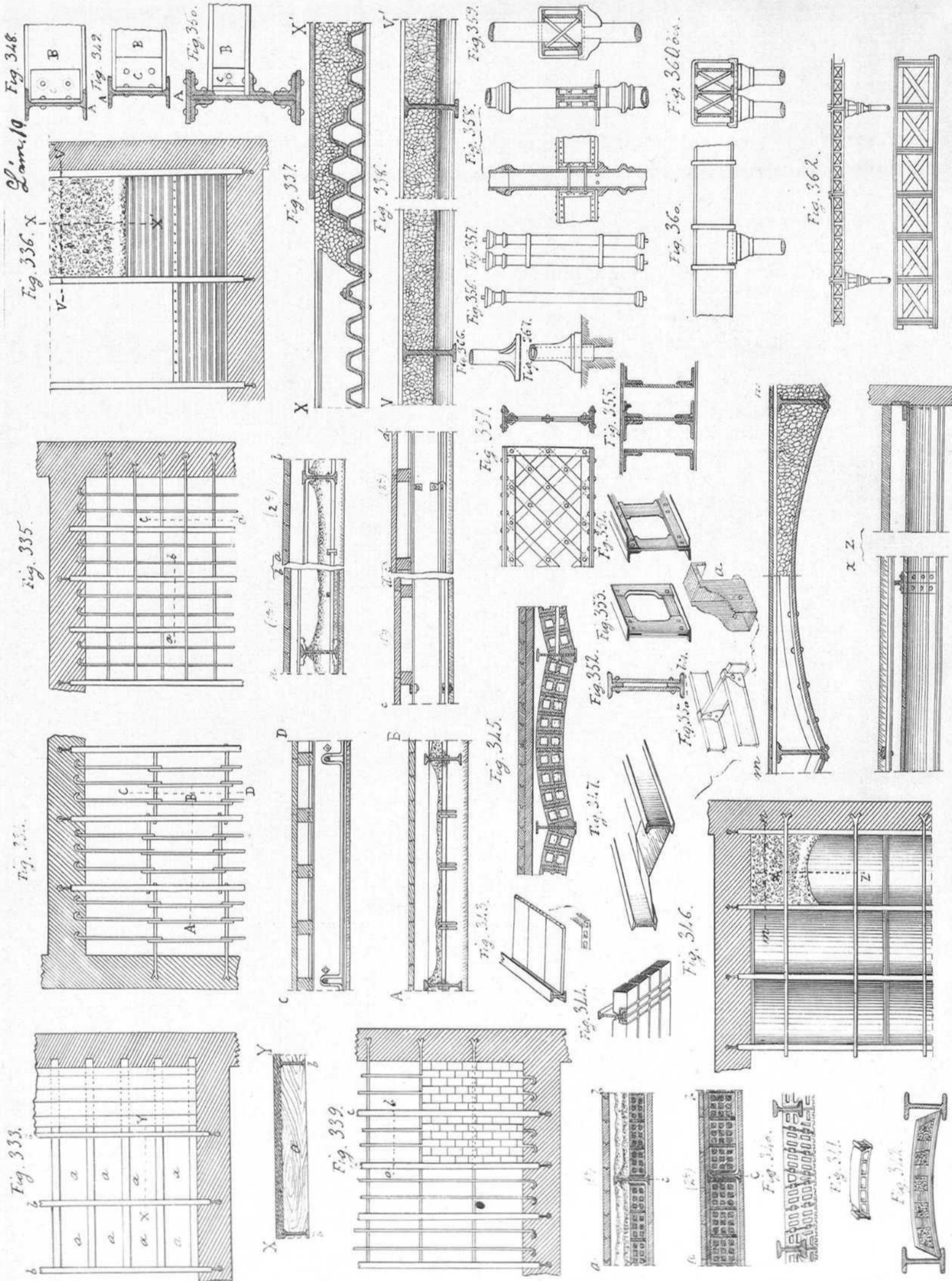
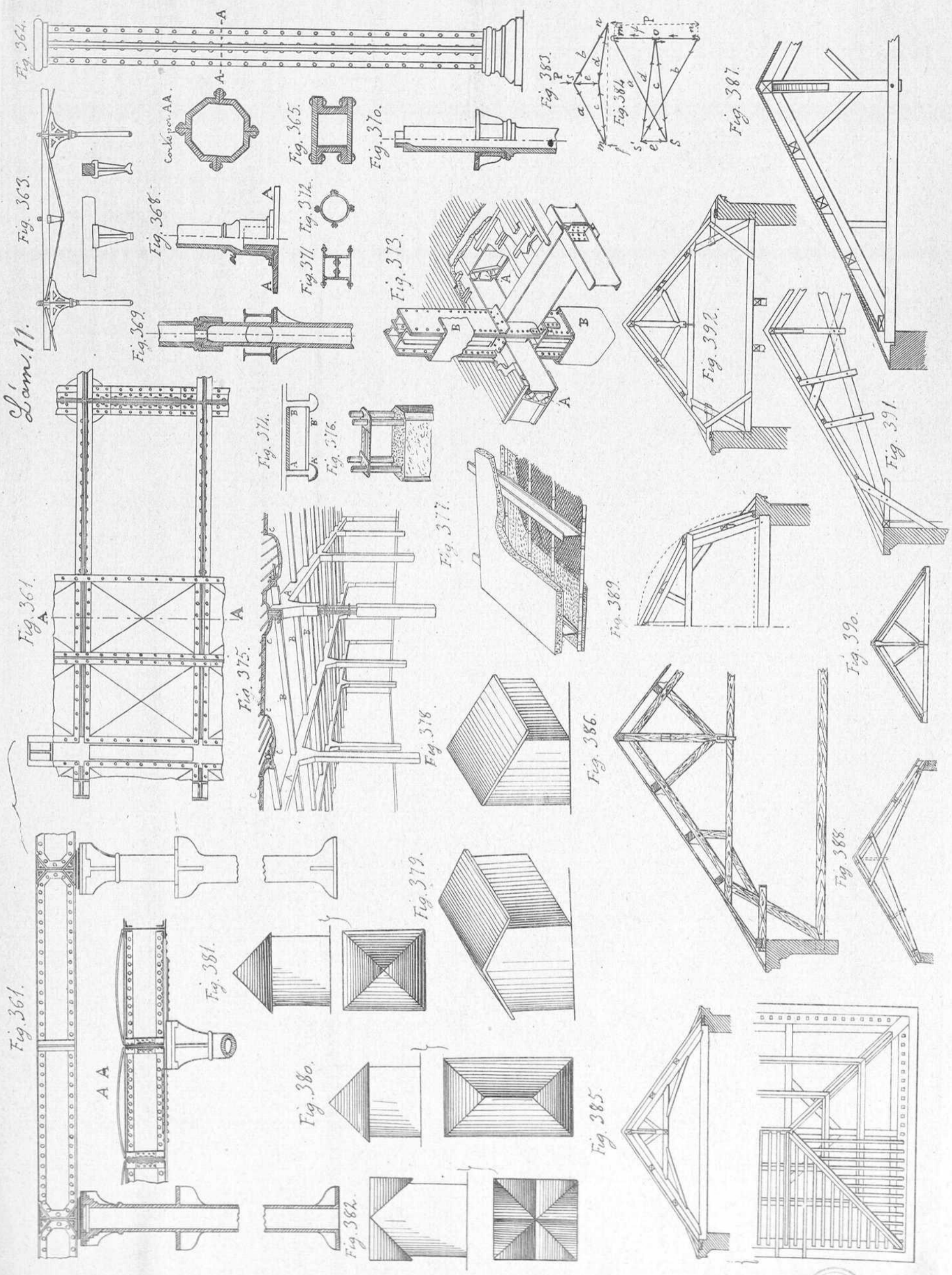


Fig. 323.





Lam. 11.



Lam 12
Fig. 395.

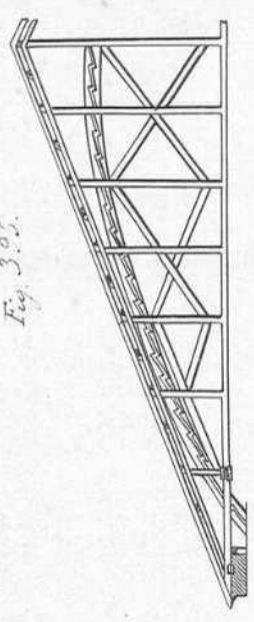


Fig. 402.

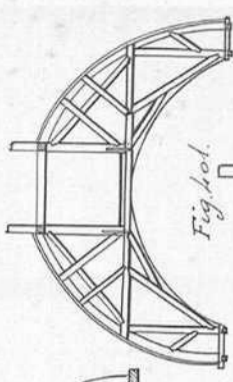


Fig. 401.

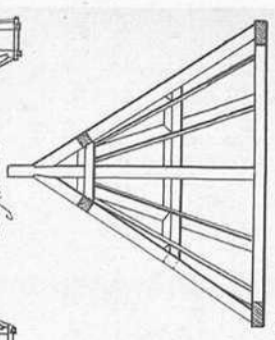


Fig. 400.

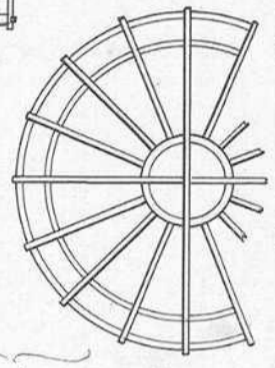
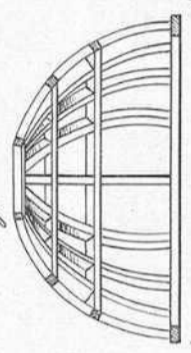


Fig. 414.

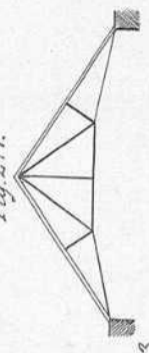


Fig. 410.



Fig. 425.

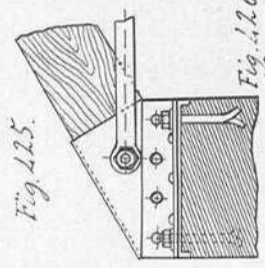


Fig. 424.

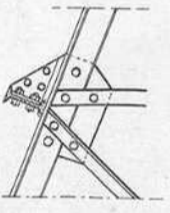


Fig. 426.

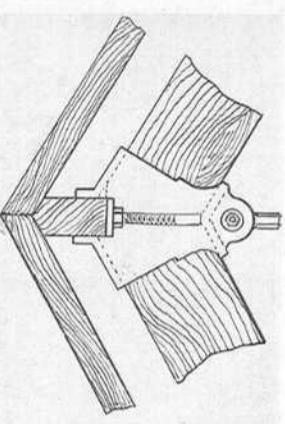


Fig. 394.

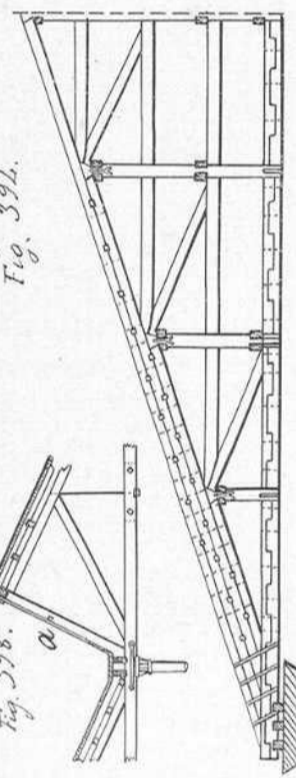


Fig. 399.

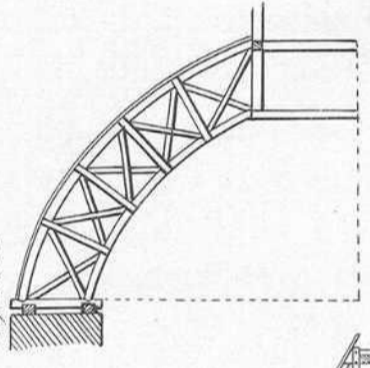


Fig. 398.

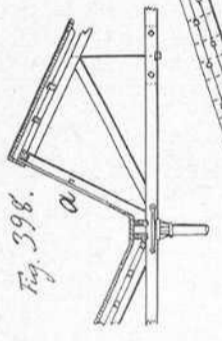


Fig. 397.

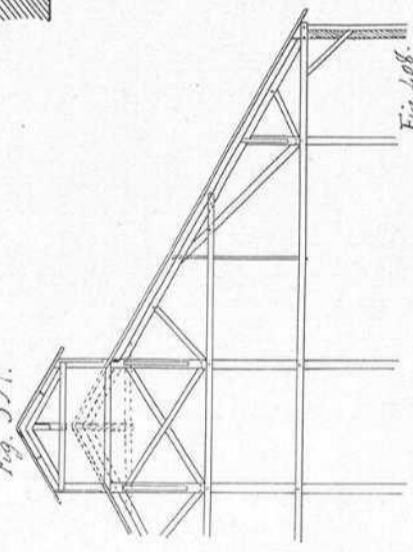


Fig. 408.

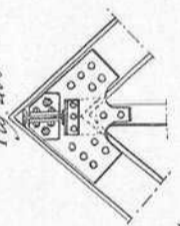


Fig. 407.

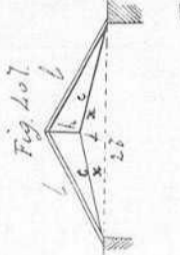


Fig. 406.

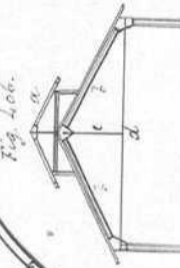


Fig. 413.

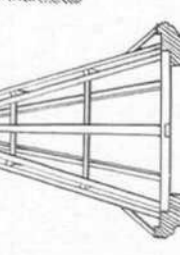


Fig. 414.



Fig. 419.

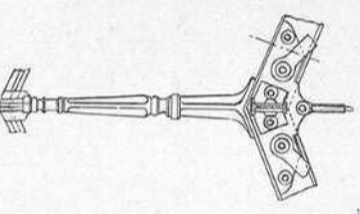


Fig. 420.

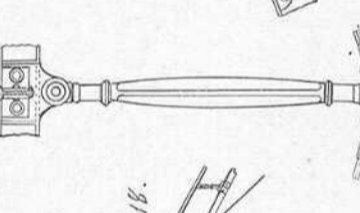


Fig. 422.

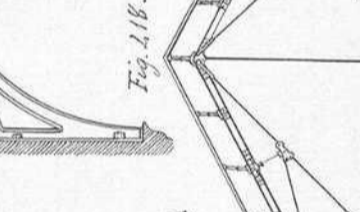


Fig. 421.

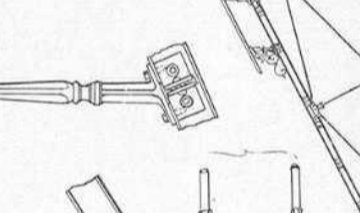


Fig. 416.

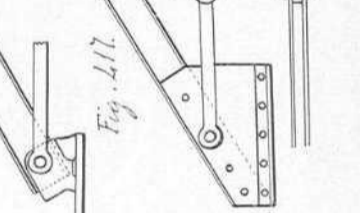


Fig. 417.

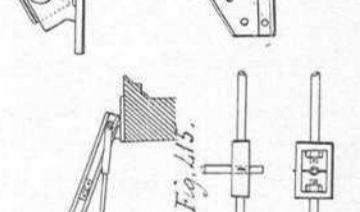


Fig. 412.

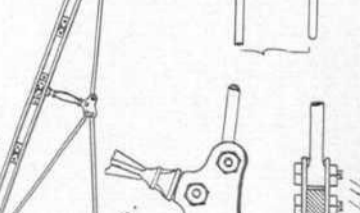


Fig. 413.

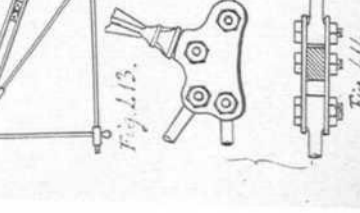


Fig. 414.



Fig. 404.



Fig. 396.

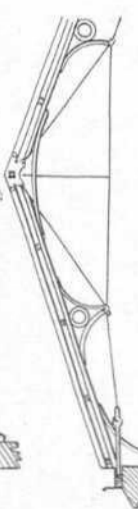


Fig. 405.

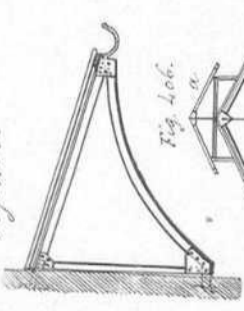


Fig. 415.

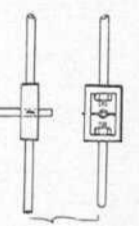
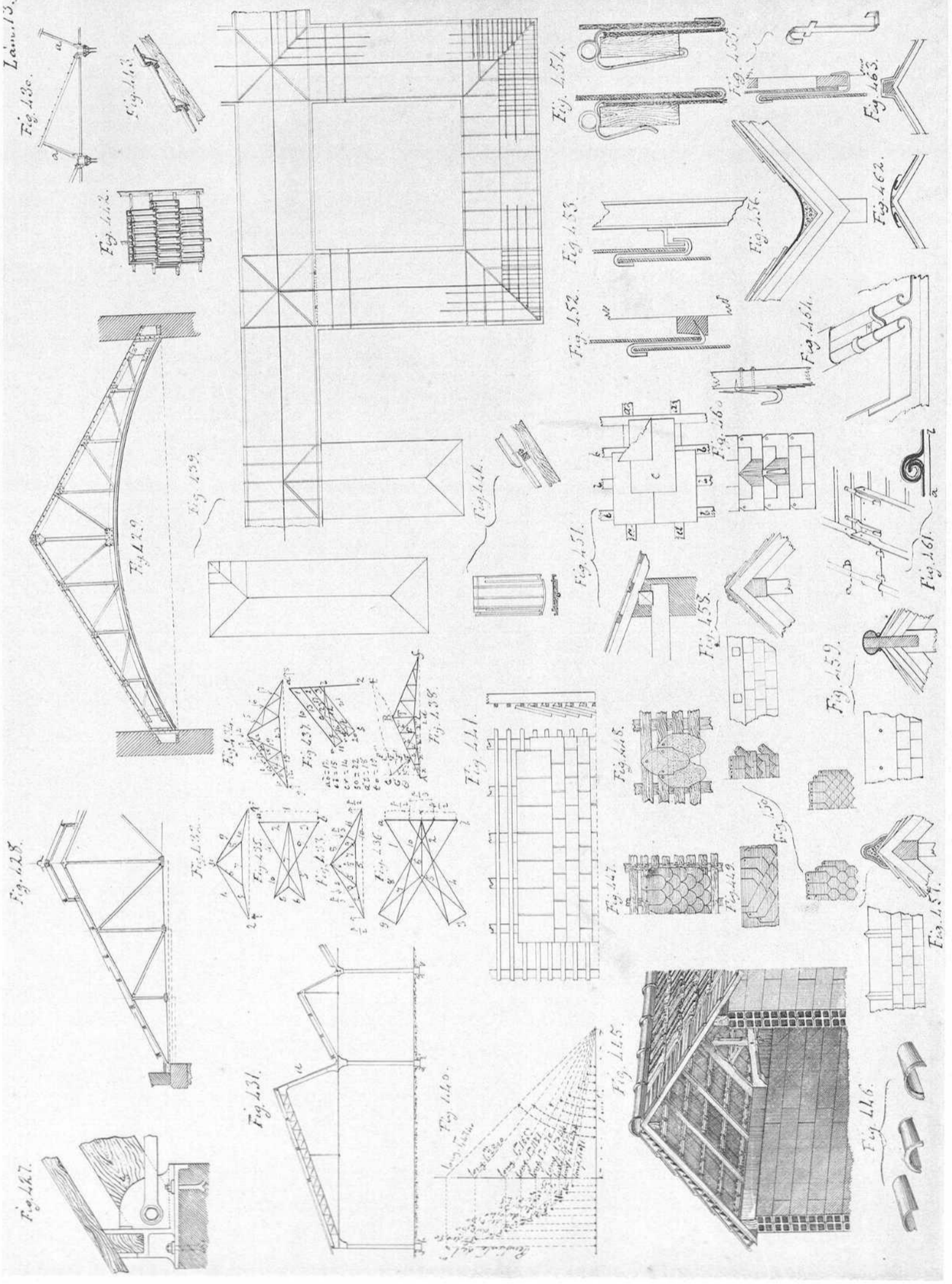
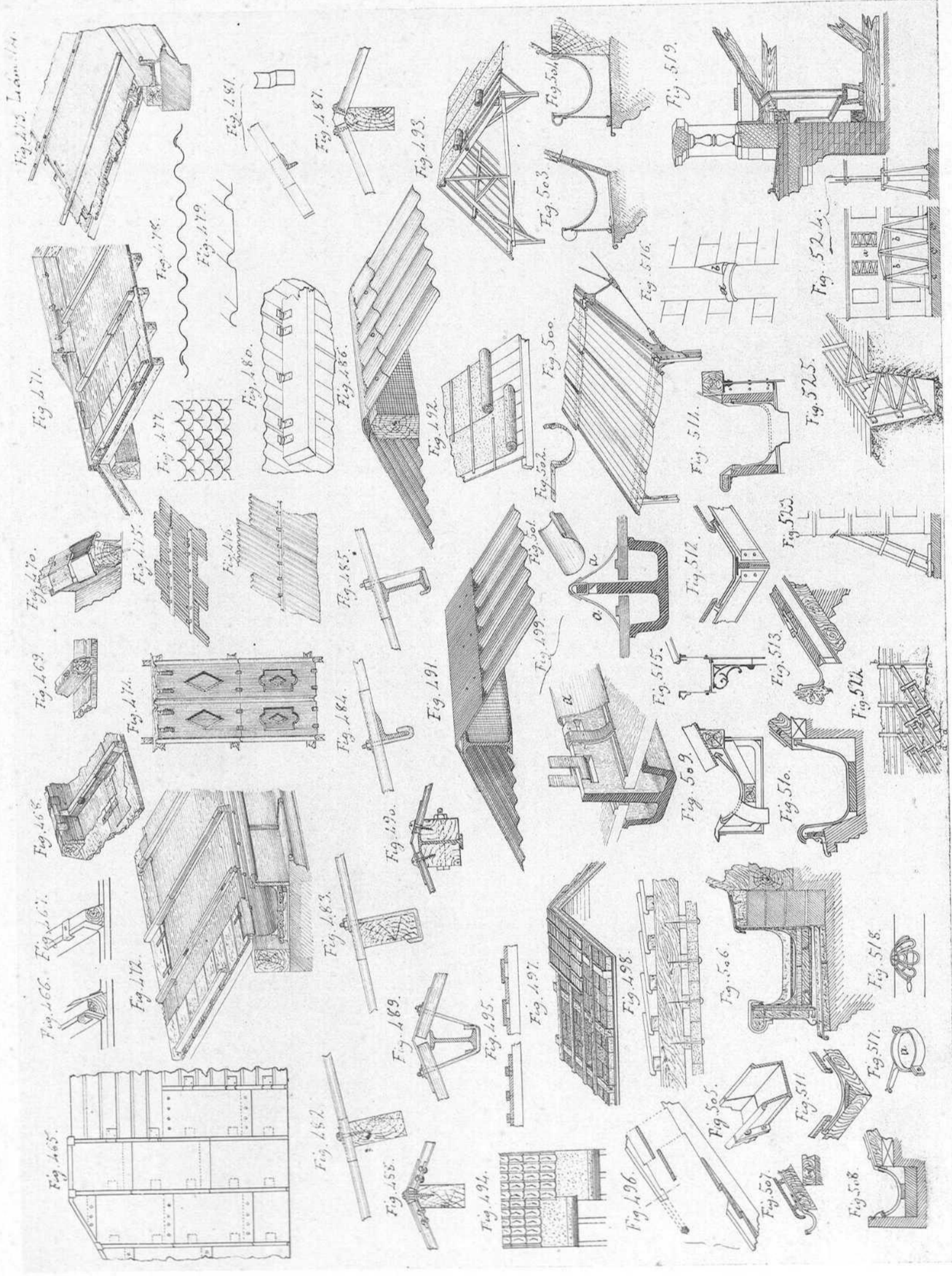


Fig. 414.

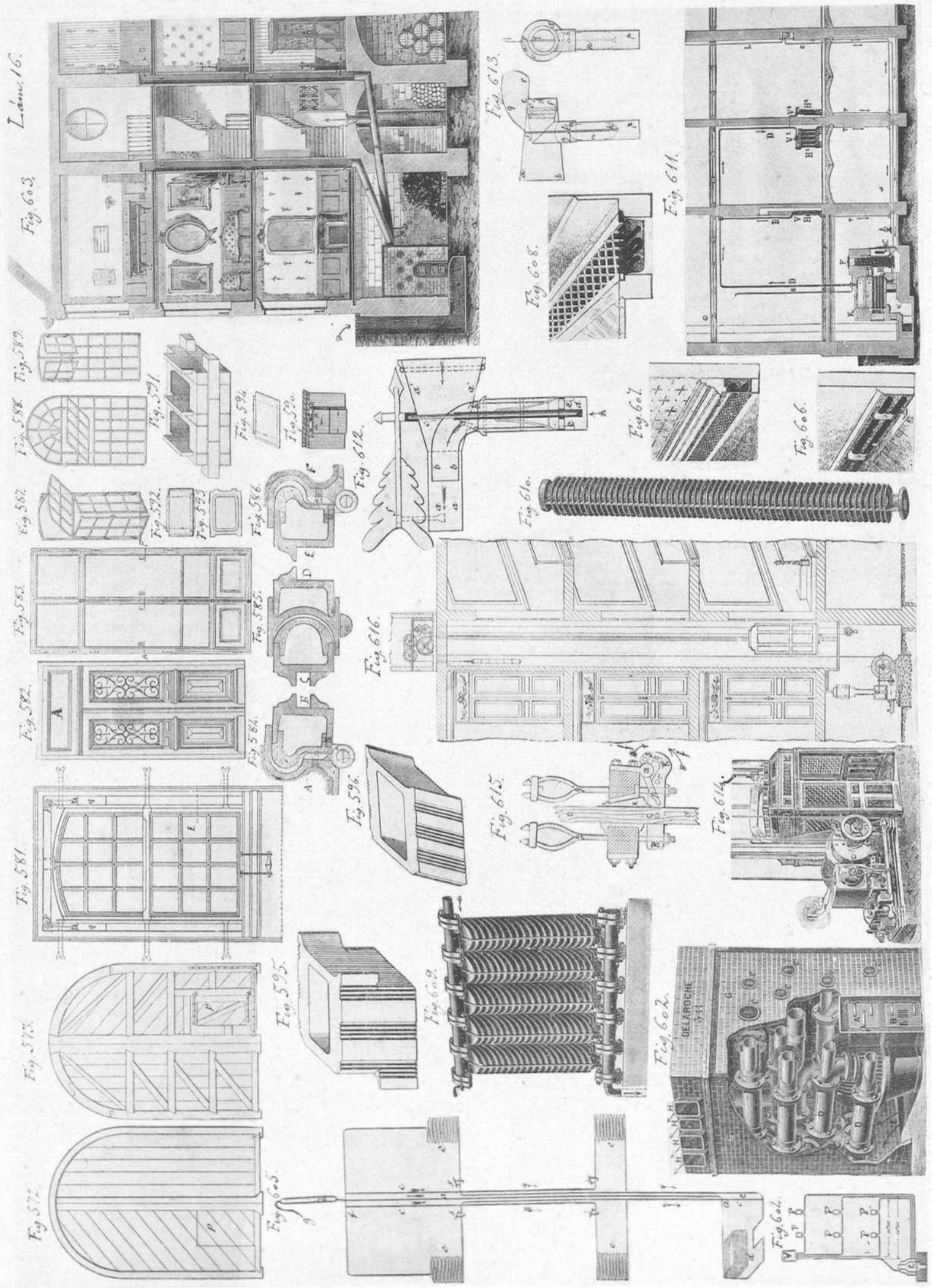


Lamin. 13.





Ldm. 16.



Lamina 17.

Fig. 623.

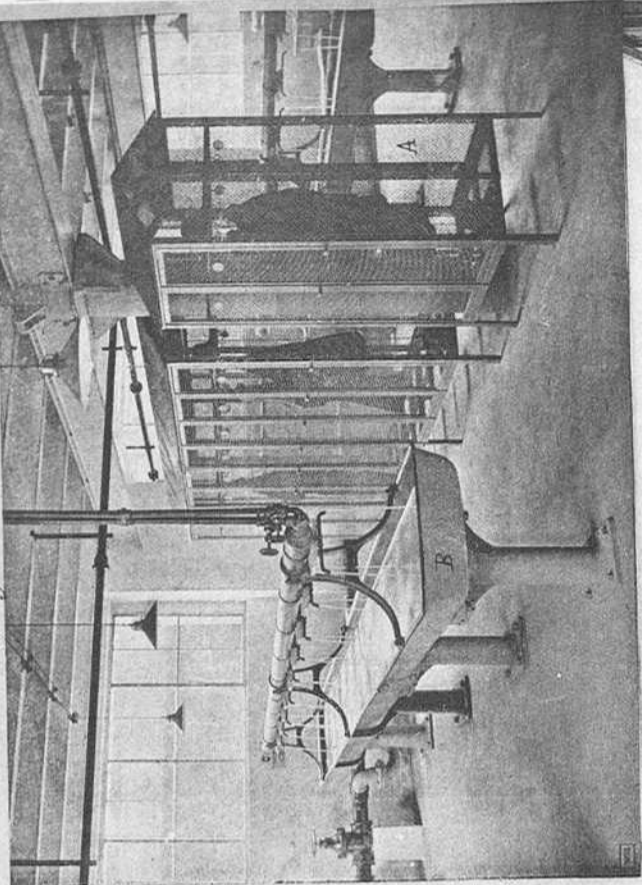


Fig. 622.

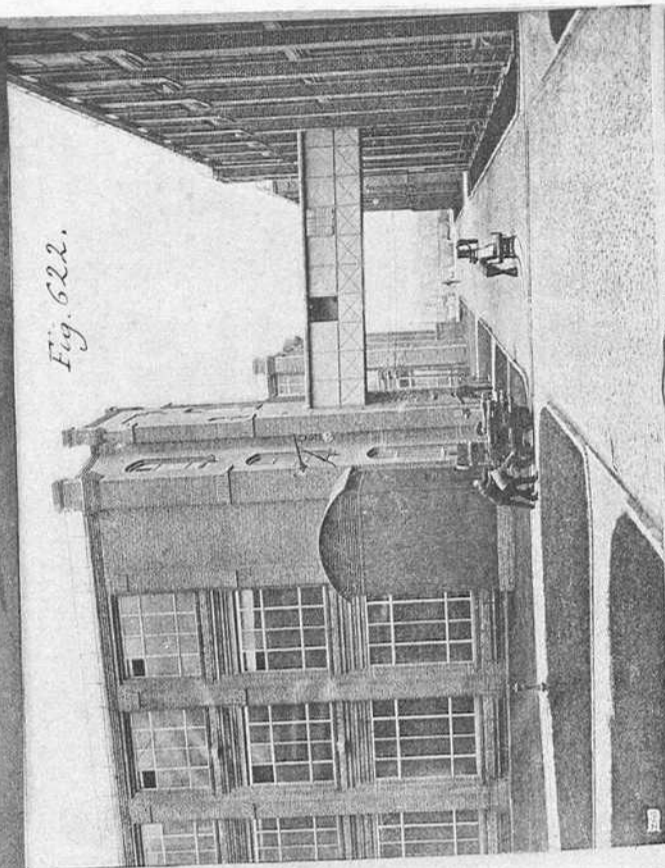


Fig. 620.

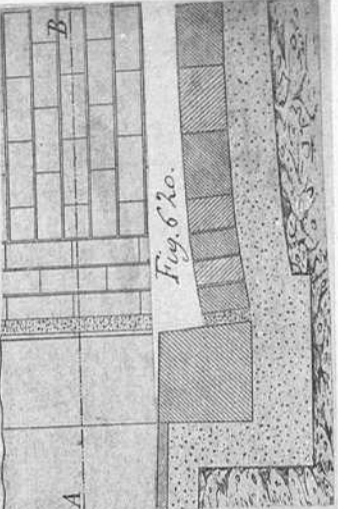


Fig. 619.

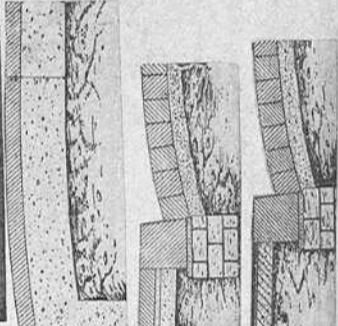


Fig. 617.

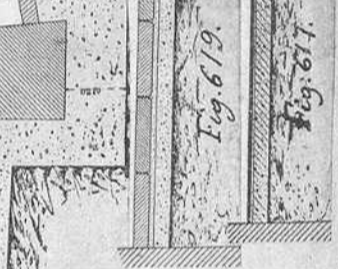


Fig. 618.

Fig. 624.

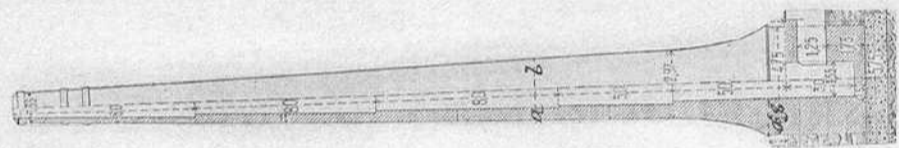


Fig. 621.

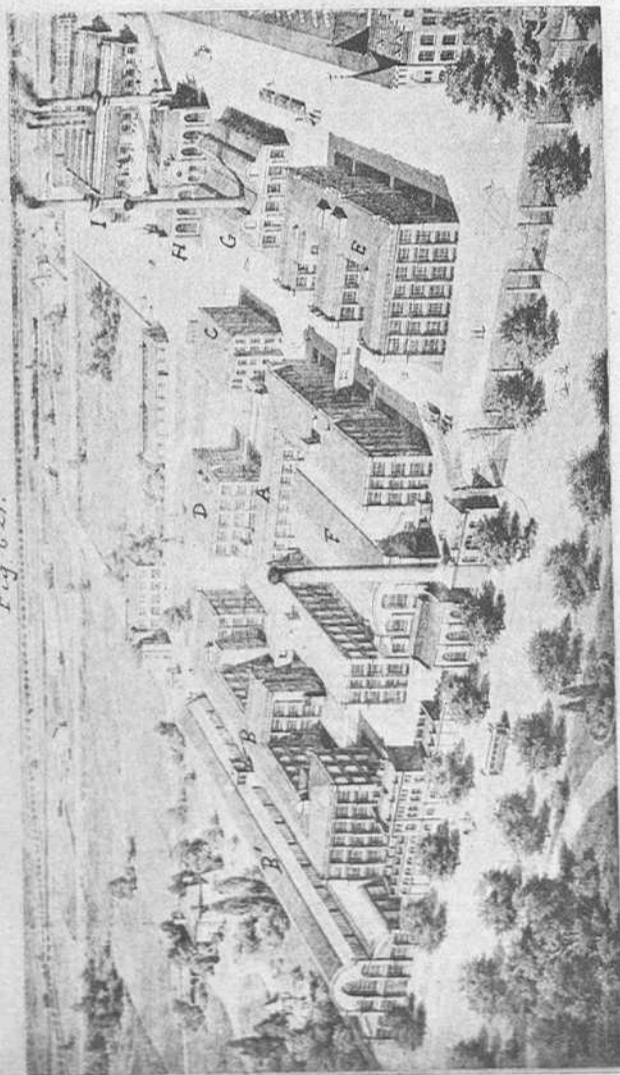
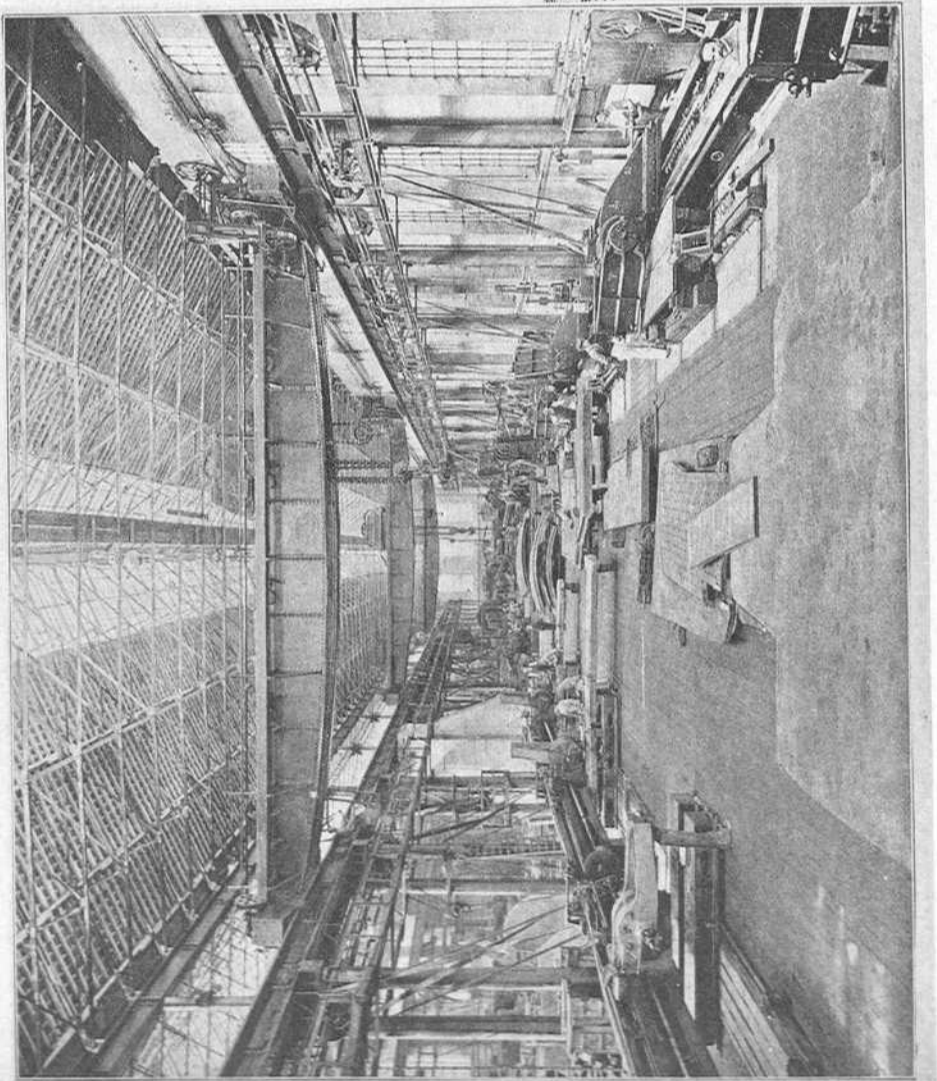


Fig. 625



1912